# МИНИСТЕРСТВО ГЕОЛОГИИ СССР ГЕОЛОГИЧЕСКОЕ УПРАВЛЕНИЕ ЦЕНТРАЛЬНЫХ РАЙОНОВ

# ГЕОЛОГИЧЕСКАЯ КАРТА СССР

масштаба 1:200000

Серия Брянско-Воронежская
Лист M-37-XIV

Объяснительная записка

Составитель *Е. М. Розановская* Редактор *В. В. Меннер* 

Утверждено Научно-редакционным советом ВСЕГЕИ 16 мая 1963 г., протокол № 15



#### введение

Лист M-37-XIV входит в состав Брянско-Воронежской серии Геологической карты СССР м-ба 1:200 000. Лист заснят в 1958—1959 гг. Большетроицким отрядом Белгородской геологосъемочной партии и подготовлен к изданию Геологическим управлением центральных районов в 1963 г.

При составлении геологических карт и объяснительной записки помимоматериалов съемки использованы также данные глубокого бурения, проведенного в 1960—1962 гг. в северной части листа Белгородской железорудной экс-

педицией.

К объяснительной записке в качестве фактического материала приложен реестр важнейших скважин. На карте четвертичных отложений нанесены элементы геоморфологии. Геологические карты выполнены по сводной легенде, утвержденной Научно-редакционным Советом ВСЕГЕИ 28 ноября 1961 г. Месторождения полезных ископаемых, приуроченные к дочетвертичным и четвертичным отложениям, показаны на соответствующих картах; нумерация месторождений единая: с 1 по 29 — месторождения, приуроченные к дочетвертичным отложениям, с 30 по 57 — к четвертичным. Территория листа М-37-XIV расположена между 50°00′—50° 40′ с. ш. и 37°00′—38°00′ в. д. В административном отношении северная часть ее принадлежит Белгородской области РСФСР (почти полностью Большетроицкий и большая часть Волоконовского и Уразовского, частично Шебекинский, Корочанский, Велико-Михайловский, Ново-Оскольский и Валуйский районы); южная часть территории входит в состав Харьковской области УССР (большая часть Волчанского и Велико-Бурлукского и, частично — Старо-Салтовский и Печенегский районы).

Рассматриваемая территория расположена на юге Средне-Русской возвышенности и в орографическом отношении представляет эрозионную равнину, сильнорасчлененную на востоке и среднерасчлененную на западе и крайнем северо-востоке. Площадь листа принадлежит системе р. Дона, причем большая часть ее относится к бассейну р. Сев. Донца и лишь крайний северо-

восток дренируется верховьями балок долины р. Тихой Сосны.

На востоке территории водоразделы выпуклые, слегка волнистые, с широко развитой овражно-балочной сетью, с многочисленными растущими оврагами и промоннами. Максимальные абсолютные высоты составляют 232 м, минимальная отметка 79 м (урез р. Оскола). Территория дренируется р. Ос-

колом и его притоками — рр. Козинской, Верхн. и Нижн. Двуречной.

Для западной и северо-восточной частей площади листа характерны узкие выпуклые водоразделы и преобладание аккумулятивных форм рельефа. Максимальные абсолютные высоты достигают 236 м; наиболее низкая отметка— 107 м (урез рр. Волчьей и Хотомли). Территория дренируется рр. Нежеголью (с правым притоком р. Корочей), Волчьей, Хотомлей и Бол. Бурлуком.

Густая расчлененность площади листа гидрографической сетью и значительная амплитуда колебания высоты рельефа обусловили довольно хорошую обнаженность. Все реки района относятся к типу равнинных, питающихся главным образом за счет талых и ливневых вод; в межень основное питание происходит за счет подземных вод.

Климат района умеренно континентальный со среднегодовой температурой, по многолетним данным метеорологической станции в г. Белгороде  $+6.2^\circ$ ; в гг. Новом Осколе и Валуйках  $+5^\circ$ ,  $+6^\circ$ ; самый холодный месяц — январь (среднемесячная температура —  $8^\circ$ ,  $-9^\circ$ ) наиболее теплый — июль ( $+20^\circ$ ,  $+22^\circ$ ). Среднегодовая сумма осадков 479—550 мм. Среднегодовая абсолютная влажность воздуха — 8.3 мб, максимума она достигает в июле — 15.5 мб, минимума — в январе и феврале — 3.2 мб. Устойчивый снеговой покров устанавливается во второй половине декабря и удерживается до конца марта. Среднее количество безморозных дней в году 157—160. Зимой преобладают западные и юго-западные ветры, летом — западные и северо-западные. Среднегодовая скорость ветра 5.3 м/сек.

Район расположен в пределах лесостепной зоны, но хозяйственная деятельность человека привела к обеднению его древесной растительностью, сохранившейся в виде небольших лесных масоивов с преобладанием лиственных пород по рр. Короче, Нежеголи, Волчьей и Осколу. Единственным представителем хвойных пород является сосна, встречающаяся довольно часто

на вторых («боровых») надпойменных террасах рек.

Местами производятся искусственные посадки — лесозащитные полосы и залесение сыпучих перевеваемых песков и оползающих и размываемых склонов балок и оврагов. Травяной покров богат разнотравьем, особенно в долинах рек и в балках, на водоразделах преобладают суходольные травы. Почвы района в основном черноземные, развивающиеся на богатых мелкоземом, часто известковистых покровных и делювиальных суглинках; на поймах и заболоченных днищах оврагов и балок местами развиты болотные почвы.

Район принадлежит к числу сельскохозяйственных с зерновым и техническим уклоном; важное значение имеет также животноводство и птицеводство, плодоовощное и плодоягодное хозяйство. Большая часть удобных земель занята пашнями; населенные пункты, как правило, тяготеют к долинам рек и балок, располагаясь на склонах, неудобных для земледелия. В пределах территории листа находятся три районных центра — сс. Большетроицкое, Волоконовка и Великий Бурлук. Промышленность имеет местное значение и связана с обслуживанием нужд сельского хозяйства или с переработкой его продукции. Ведущей отраслью является пищевая промышленность.

В пределах площади листа шоссейных дорог нет. Основным транспортом является Московско-Донбасская железнодорожная магистраль и одноколейная железная дорога Белгород — Купянск и свх. Красное — Буденновский сахарный завод. Лист M-37-XIV, хотя и относится к центральной части страны, изучен сравнительно слабо. Геологическое картирование, отвечающее современным требованиям к картам м-ба 1:200 000 и крупнее, здесь до 1958 г. не проводилось, а съемки трех- и десятиверстного масштаба, покрывшие всю территорию листа, к настоящему времени во многом устарели. В истории геологического изучения рассматриваемой территории выделяются три периода. Первый период — эпоха экспедиций, проводившихся с конца XVIII в. до начала XX столетия Академией Наук и Обществом испытателей природы. К этому периоду относятся открытие академиком П. Иноходцевым курской магнитной аномалии (1784), исследования Г. П. Гельмерсена (1841), Р. Мурчисона (1849) и Н. Барбот де-Марни (1870), впервые предложившего стратиграфическую схему расчленения палеогеновых отложений. Более детально они были изучены А. В. Гуровым (1883). Второй период изучения района начался в 90-ые годы прошлего столетия, когда Геологический комитет, учрежденный в 1882 г., приступил к проведению 10-верстной геологической съемки. В эти годы Н. А. Соколов (1893) разработал стратиграфическую схему палеогеновых отложений Южной России, впервые подразделив их на четыре яруса: бучакский и киевский (эоцен), харьковский (нижний олигоцен) и полтавский (средний и верхний олигоцен).

В сопредельном с запада районе П. Я. Армашевский (1903) произвел съемку 46 листа. В бассейне р. Десны им впервые выделен каневский ярус (нижний эоцен), лежащий стратиграфически ниже бучакского. В эти же годы (с 1896 по 1918 гг.) в районе г. Белгорода Э. Е. Лейстом (1921) проводи-

лись геомагнитные исследования. О. К. Ланге (1921) изучались детально верхнемеловые (верхний сенон) отложения. Более широкий размах геологические исследования приобрели после Октябрьской революции, когда по инициативе В. И. Ленина (1921) была организована Особая комиссия по изучению курских магнитных аномалий (ОК КМА), проводившая в районе максимальных аномалий глубокое бурение, позволившее выяснить глубину залегания кристаллического фундамента и изучить разрез перекрывающих его осадочных пород.

Исследования, касающиеся непосредственно описываемой территории впервые были проведены в 1923 г. Б. Н. Семихатовым при съемке северозападной четверти 60 листа 10-верстной карты, включающей северную окраину района. Меловые отложения Б. Н. Семихатовым подразделены на сантонские и верхнесенонские. Западная половина описываемой площади, входящая в юго-западную четверть 60 листа, была заснята А. Н. Семихатовым (1926), восточная — О. А. Денисовой (1929). На прилагаемых картах авторами показаны нижнетретичные, верхнесенонские и сантонские отложения. Последний, третий период характеризуется началом детальных геологических съемок: Л. И. Карякин (1931) и Д. П. Назаренко (1931) произвели 3-верстную геологическую съемку юго-западной части рассматриваемой площади, расположенной в пределах Харьковской области. Меловые отложения подразделены ими на сеноман, турон и сенон; среди третичных отложений выделены бучакский, киевский, харьковский и полтавский ярусы палеогена и ярус «пестрых глин» неогена.

Обобщение результатов геологосъемочных работ в пределах 46 и 60 листов 10-верстной карты, охватывающих северо-западную часть рассматриваемого района, проведено Д. В. Захаревичем (1936). Результаты геологических и геоморфологических исследований по левым притокам р. Сев. Донца изложены в сборнике «Геологиечский очерк бассейна реки Донца», опубликованном в 1936 г. (Д. Н. Соболев, С. С. Соболев, Л. И. Карякин и др.).

Во время Отечественной войны и в первые послевоенные годы выполнены сводные работы: Геологическая карта СССР, лист М-37 (Дубянский и Степанов, 1941), на которой сенонские отложения подразделены на кампанские и кампан-маастрихтские, а палеогеновые — на эоценовые и олигоценовые, комплексная геологическая карта лист М-37-А (Малярова, Добров, 1945) и структурная карта лист М-37 (Яковлев, 1949). В 1956 г. В. П. Семеновым составлена геологическая карта северной части листа М-37 (Харьков). Большой вклад в изучение палеогеновых отложений внес Г. П. Леонов (1936, 1939, 1953, 1961), сопоставивший отложения Волгоградского Поволжья с соответствующими образованиями бассейнов рр. Днепра и Дона. Специальные исследования полтавских отложений производились Н. В. Пименовой (1941) и О. В. Крашенинниковой (1945), которые доказали, что объем полтавского яруса соответствует верхнему олигоцену -- нижнему миоцену. Наиболее полной сводкой по палеогеновым и неогеновым отложениям платформенной части Украины и частично смежных районов являются работы М. Н. Клюшникова (1953, 1958).

Ценный материал содержится в сводных работах, посвященных изучению Днепровско-Донецкой впадины. К ним относится капитальный труд Г. И. Бушинского (1954) по меловым отложениям, Н. Е. Бражниковой и Е. О. Новик (1954) — по стратиграфии и тектонике каменноугольных отложений и Х. Р. Видоменко (1957) — по анализу структуры нижнетретичных отложений. Исследования по стратиграфии и условиям накопления юрских отложений территории КМА проводились В. Н. Преображенской (1955, 1956, 1961). Стратиграфическому расчленению докембрийских образований КМА посвящены работы А. П. Архангельского (1926), Н. И. Свитальского (1933), В. И. Лучицкого (1939), М. Н. Воскресенской (1956), Н. А. Плаксенко (1957), И. А. Русиновича (1958) и С. И. Чайкина (1958). В 1959 г. в промежуточном отчете Курско-Белгородской картосоставительской партии ГУЦР, организованной в 1957 г. и занимающейся составлением комплексных карт территории КМА м-ба 1:500 000, приводится новая стратиграфическая схема расчленения докембрийских образований и дается более дробное па-

леонтологически обоснованное расчленение пород палеозоя, мезозоя и кайнозоя. В работе партии принял участие большой коллектив геологов (М. Н. Доброхотов, В. Д. Полищук, Н. И. Голивкин, Ю. С. Зайцев, Л. С. Богунова, Д. Н. Утехин, С. Г. Вишняков, В. Н. Преображенская, Г. В. Лаврова, В. П. Семенов, М. Н. Грищенко, Г. И. Раскатов и др.). Работы сопровождались картировочным бурением и дополнительным сбором полевых материалов. При описании пород докембрия в настоящий момент принята последняя стратиграфическая схема В. Д. Полищука, Н. И. Голивкина и Ю. С. Зайцева.

С 1955 г. на территории КМА Геологическим управлением центральных районов проводится геологическая съемка м-ба 1:200000; многие листы геологической карты уже опубликованы или подготовлены к изданию; к ним относятся сопредельные с описываемой территорией с севера (лист М-37-VIII), с запада (лист М-37-XIII) и с востока (лист М-37-XV). Южнее рассматриваемой территории, на площади листа М-37-XX в настоящее время проводится съемка трестом «Артемгеология» Главгеологии УССР.

Гидрогеологические исследования в пределах территории листа начали проводиться только в третий период; осуществлялись они разными исследователями, с различной степенью детальности на незначительных по площади участках и не характеризуют гидрогеологических условий района в целом. Обобщение гидрогеологических и инженерно-геологических материалов выполнялось В. А. Жуковым (1941), А. А. Дубянским (1948), П. А. Большаковой (1948), П. Н. Панюковым (1949) и др.

В 1950 г. для осуществления ирригационных мероприятий А. К. Матвейчук (1951) произвел маршрутную съемку, охватившую северную и восточную части рассматриваемой площади (по долинам рр. Нежеголи, Оскола и Козинки), и составил геологическую, гидрогеологическую и геоморфологическую карты м-ба 1:200 000. Эти карты (наряду с аналогичными по смежным районам) послужили основой при составлении сводных полистовых карт того же масштаба для Центральных черноземных областей (Балашкова, Великоречина и Рябченков, 1954). Однако отсутствие буровых скважин на водораздельных участках в значительной степени снизило качество карт и при проверке в территориальных фондах ГУЦР они были признавы некондиционными. Позднее в связи с открытием на КМА крупных месторождений богатых железных руд были исследованы и гидрогеологические условия территории КМА и прилегающих районов; результатом явились сводные работы И. Н. Павлова (1957), Б. Н. Смирнова (1959) и др.

Начиная с 1935 г., некоторые сведения по геологии района содержатся в работах, связанных с изучением полезных ископаемых в пределах площади листа (В. К. Андреев, П. П. Кондрашов и др.). Более систематически поисковые и разведочные работы на различные виды строительных материалов проводились с 1953 г. до настоящего времени (см. прил. 2). В связи с поисками нефтегазоносных структур в пределах Днепровско-Донецкой впадины Г. М. Куприянов (1958) непосредственно западнее и южнее площади листа провел профильное глубокое бурение, в результате которого впервые для этой территории было установлено развитие среднекаменноугольных отложений. В течение последних лет на территории КМА Белгородской железорудной экспедицией производятся поисково-разведочные работы, результаты которых изложены в отчетах С. И. Чайкина (1958—1963). Результатом обобщения многолетних работ по поискам и разведке торфяных месторождений явились Торфяной фонд РСФСР и УССР (1958 и 1959). Капитальная сводка полезных ископаемых приведена в «Геологии СССР», т. V и VI (1949 и 1958).

В заключение отметим комплексные геофизические работы, проведенные непосредственно на площади листа в связи с изучением территории курских магнитных аномалий. В результате этих исследований, освещенных в отчетах Б. П. Епифанова (1947), В. И. Федюка (1948), Н. Г. Шмидта, Я. П. Ковтуна, И. А. Жаворонкина, Р. С. Красовицкой (1954—1959) и др. площадь листа полностью покрыта аэромагнитной (1:500 000) и гравиметрической (1:200 000) съемкой и почти целиком магнитометрической съемкой (1:200 000). Более детально изучены западная и восточная окраины терри-

тории листа: на отдельных участках на западе проведены сейсморазведка (1:100 000), гравиметрическая и магнитометрическая съемка (1:50 000), а также сейсмо- и электропрофилирование, на востоке — электроразведка и магнитометрическая съемка (1:50 000).

После проведения всех этих работ к настоящему времени для северо-западной части района составлена карта поверхности кристаллического фун-

дамента в изогипсах.

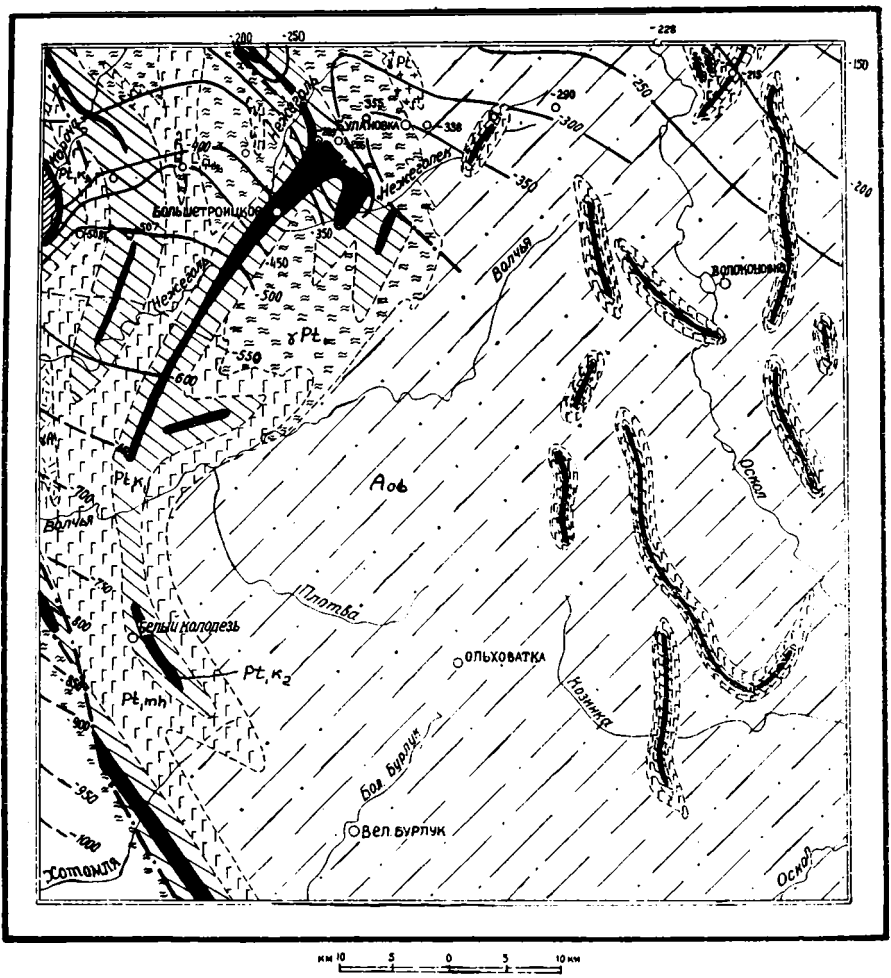
Перечисленными работами по существу исчерпывается перечень важнейших исследований по листу M-37-XIV до проведения здесь комплексной геологической съемки м-ба 1:200 000, выполненной в 1958-1959 гг. Большетроицким отрядом Белгородской геологосъемочной партии (Е. М. Розановская, Н. Г. Бородин и Г. Ф. Симонова, а также А. А. Алексеев, Т. Е. Горбаткина, И. И. Шипилов и В. Г. Соколов). Отчет о съемке представляет собой полную сводку данных по геологии района, в нем подробно охарактеризованы стратиграфия, тектоника, геоморфология, подземные воды и полезные ископаемые. Для обоснования представленных карт использовано 2200 точек наблюдения, разрезы около 150 буровых скважин, а также учтены все геоло-

гические материалы вышеперечисленных исследователей.

В результате съемки характеристика древних горизонтов (от туронских до кристаллического фундамента) дана главным образом по данным смежных листов и по единичным разрозненным скважинам, пройденным на территории листа, а также по трем глубоким скважинам, пробуренным Петриковской геологоразведочной партией Украинского геологического управления при поисково-разведочных работах на уголь (1955—1956). Эти скважины вскрыли впервые в северо-восточной части района юрские, нижнекаменноугольные и архейские образования (одна скважина). С достаточной полнотой изучен разрез осадочной толщи от коньякских до четвертичных образований: значительно уточнено строение сантонских, кампанских и маастрихтских отложений. В сантонском ярусе по микрофауне выделены верхний и нижний подъярусы. Уточнена граница распространения маастрихтского яруса и т. д. Впервые на территории листа по литологическим признакам раздельно закартированы все слои палеогеновых отложений. В неогеновых образованиях условно выделены на водоразделах породы шапкинской толщи, в долинах рек - плиоценовые (?) отложения аллювиального типа, картируемые на площади листа впервые. Так как на смежной с севера территории (на правобережье р. Корочи) из-за отсутствия данных последние не выделялись и, вероятно, ошибочно, были закартированы как полтавские слои, листы по рамке не увязаны.

Впервые дается геоморфологическое районирование территории листа M-37-XIV с использованием аэрофотоснимков. Выполнена сводка по различным видам полезных ископаемых. В ряде пунктов в отложениях полтавских слоев и шапкинской толщи установлено повышенное содержание циркона, а в двух пунктах — промышленное. Основным материалом при подготовке листа к изданию послужил отчет о съемке. По окончании ее на севере рассматриваемой площади Белгородской железорудной экспедицией ГУЦР был пройден структурно-картировочный профиль, а для проверки рудоносности до настоящего времени проводятся поисковые работы на Большетроицких аномалиях. Кроме того, до сих пор ведутся опытные гидрогеологические откачки как по скважинам картировочного профиля, так и на Большетроицком участке. Геологические данные по картировочному профилю обобщаются Курско-Белгородской картосоставительской партией, (Вишняков и др., 1961; Преображенская, 1961; Грищенко и др., 1961) гидрогеологические — Комплексной геологосъемочной партией ГСЭ (Б. Н. Смирновым и др.). Новые данные, полученные в результате этих работ, а также сведения, содержащиеся в заключении о железорудных месторождениях КМА (1962), дали дополнительные материалы, использованные при подготовке листа к изданию. В итоге проведенных работ и использования всех вышеперечисленных материалов составленные геологические карты являются кондиционными и соответствует своему масштабу.

Определения фауны из палеогеновых отложений выполнены Р. Б. Самойловой, Л. Я. Березенцевой, М. К. Ткач и Р. Х. Липман, из меловых —



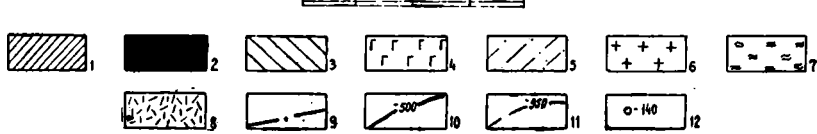


Рис. 1. Схематическая геологическая карта докембрийских образований. Составлена В. Д. Полищуком и др. (1962) по данным бурения и геофизическим материалам Курской геофизической экспедиции ГУЦР.

I-4— протерозойская группа: I— курская метаморфическая серия, известняково-сланцевая толща  $(Pt_ik_3)$ , 2— то же, железорудная толща  $(Pt_ik_2)$ , 3— то же, кварцито-сланцевая толща  $(Pt_ik_3)$ , 4— михайловская серия метабазитов  $(Pt_imh)$ ; 5— архейская группа, обоянская серия древних гнейсов (Aoh); 6-8— интрузивные образования: 6— протерозойские гранитоиды нерасчлененные  $(\gamma Pt)$ , 7— комплекс нижнепротерозойских плагиогранитов  $(\gamma Pt_i)$ , 8— архейские гранитонды  $(\gamma A)$ ; 9— тектонические контакты предполагаемые; I0— изогипсы кровли докембрийских образований; II— то же, предполагаемые; I2— абсолютная высота кровли докембрийских образований по скважинам

Р. Ф. Смирновой, Д. П. Найдиным, Н. А. Чернышевой, из юрских — В. Н. Преображенской, М. Ярцевой и Николаевской, из каменноугольных — Л. С. Богуновой, Е. Ф. Фоминой, М. Ярцевой и Николаевской. Изучение флоры диатомовых водорослей проводилось  $\Gamma$ . С. Королевой.

#### СТРАТИГРАФИЯ

На территории листа M-37-XIV развиты архейские, протерозойские, каменноугольные, юрские, меловые, палеогеновые, неогеновые и четвертичные отложения. Современной эрозией вскрыты верхнесантонские и более молодые образования, а в долине р. Оскола под четвертичным аллювием залегают осадки нижнесантонского, коньякского и туронского времени. Более древние отложения на поверхность не выходят и известны в основном по скважинам Белгородской железорудной экспедиции ГУЦР и Петриковской партии Украинского геологического управления.

#### АРХЕЙСКАЯ И ПРОТЕРОЗОЙСКАЯ ГРУППЫ

Образования, слагающие кристаллический фундамент, вскрыты бурением в пределах площади листа только на крайнем севере, где Белгородской железорудной экспедицией ГУЦР пройден структурно-картировочный профиль Белгород — Репьевка, и в настоящее время завершается бурение потрем поисково-разведочным профилям на Большетроицких магнитных аномалиях, а Петриковской партией Украинского геологического управления пробурена одна скважина. Геофизические исследования в совокупности с результатами бурения дают сейчас некоторое представление о развитых в рассматриваемом районе метаморфических и интрузивных образованиях архейской и протерозойской групп, их составе, распространении и структуре фундамента. Большую часть территории листа (по данным В. Д. Полищука, Н. И. Голивкина и Ю. С. Зайцева, 1962) занимают архейские породы, подстилающие нижнекаменноугольные отложения, и только на западе и участками на востоке ее — протерозойские образования. Как архейские, так и протерозойские образования прорваны разновозрастными интрузиями (рис. 1). Общее простирание пород докембрия северо-западное. Кристаллические образования представляют собой сложный комплекс пород, генетические и возрастные взаимоотношения между которыми не следует считать окончательно выясненными. Учитывая, что обработка материалов бурения экспедицией окончательно еще не закончена, описание пород и стратиграфические взаимоотношения их даются по предварительным данным.

#### АРХЕЙСКАЯ ГРУППА

Обоянская серия древних гнейсов (A ob). Самыми древними образованиями рассматриваемого района являются гнейсы, парагнейсы и мигматиты, вскрытые в районе сс. Слоновка, Булановка и д. Бондарев скважинами, которые вошли в них на глубину до 36 м. Наиболее широко распространены биотитовые гнейсы темно-серые до черных, с кристаллами граната прожилками кварца; слюдистые парагнейсы серые, полосчатые, среднезернистые. Минералогический состав их характеризуется высоким содержанием слюд — 40%, микроклина и олигоклаза — 30—40% и кварца — 20—30%; акцессорные минералы — апатит, циркон, графит. Мигматизированные гнейсы и мигматиты характеризуются интенсивной инъецированностью прожилками кварца и гранитоидов. Абсолютный возраст гнейсов 2,5 млрд. лет (определен на соседних территориях аргоновым методом, по данным А. П. Виноградова и А. И. Тугаринова, 1960), что позволяет относить эти породы к архею.

#### ПРОТЕРОЗОЙСКАЯ ГРУППА

#### нижнепротерозойская подгруппа

Протерозойский комплекс пород представлен нижнепротерозойской подгруппой, состоящей из михайловской серии метабазитов и курской метаморфической серии. Они развиты на западе и участками на востоке площа-

ди листа, где слагают синклинальные зоны. Отложения михайловской серии характеризуются большей степенью метаморфизма. Взаимоотношение их с подстилающими (архейскими) и перекрывающими (курской серией) образованиями пока не ясно.

Михайловская серия метабазитов ( $Pt_1 mh$ ). Мощность этой серии до 2000 м. Она довольно широко развита на западе территории листа и в виде узких полос прослеживается на востоке. Скважинами вскрыта в районе с. Верхне-Березово. Представлена амфиболитами биотито-полевошпато-роговообманковыми зеленовато-серыми, средне- и мелкозернистыми с прослоями (10 см) амфиболо-хлоритового сланца. В составе курской метаморфической серии ( $Pt_1 k$ ), также развитой преимущественно на западе листа и в виде узких полос на востоке его, выделяются три толщи:

Кварцито-сланцевая толща (Pt<sub>1</sub> k<sub>1</sub>) мощностью 500—750 м вскрыта в районе дд. Купино, Протопоповка, Макешкино и представлена кварцитовидными песчаниками зеленовато-серыми с розоватым оттенком, с прослоями серых слюдяных и двуслюдяных, сланцев, которые в свою оче-

редь часто содержат прослои (до 10 см) кварцита.

Ж с л е з о р у д н а я т о л щ а (Pt<sub>1</sub> k<sub>2</sub>) мощностью 150—500 м вскрыта рядом скважин в районе с. Большетроицкое и сложена в основном железистыми кварцитами и подстилающими и перекрывающими их филлитовидными углистыми сланцами, составляющими соответственно нижнюю и верхнюю части толщи. Кварциты представлены железнослюдково-магнетитовыми, а в зоне выветривания железно-слюдково-мартитовыми разностями, имеющими тонкополосчатое сложение, обусловленное переслаиванием тонких магнетитовых и кварцевых прослоев (1—4 мм), к контакту между которыми приурочены прослои (до 0,1 мм) железной слюдки.

Известняково-сланцевая толща ( $Pt_1 k_3$ ) в пределах рассматриваемой территории бурением пока не установлена. По данным комплексных геофизических исследований можно предположить ее развитие у крайней западной рамки листа. Непосредственно западнее, на площади листа М-37-XIII, где широко развита известняково-сланцевая толща, вскрытая мощность ее 85—190 м. Представлена она здесь кварцевыми метапесчани-ками, филлитами и сланцами с прослоями мраморизованных известняков и углистых доломитов.

# Кора выветривания архейских и протерозойских пород

Все породы, слагающие кристаллический фундамент, в верхней части несут следы интенсивного выветривания. На «головах» железистых кварцитов образуются богатые железные руды коры выветривания мощностьх от 10 до 340 м (вскрыты не на полную мощность), средняя мощность их порядка 70—80 м. В верхней части зоны выветривания филлитовидных сланцев иногда встречаются бокситоподобные породы (в районе с. Большетронцкое). В зоне выветривания сланцы превращаются в рыхлую глинистую породу (д. Макешкино); мигматит выветривается до каолинито-глинистого состояния. На амфиболитах кора выветривания представлена глиноподобными красно-бурыми породами (с. Верхне-Березово), на гнейсах — каолином серым и светло-серым (с. Булановка). Мощность коры выветривания зменяется от 10 до 300—400 м. Судя по разнообразию минералогического состава и типов коры выветривания она, по-видимому, формировалась в течение достаточно длительного времени при неоднократной смене климатических условий на протяжении нижнего и среднего палеозоя.

#### КАМЕННОУГОЛЬНАЯ СИСТЕМА

Каменноугольные отложения, залегающие с резким размывом на докембрийских породах, подразделяются на турнейский, визейский и намюрский ярусы нижнего отдела и башкирский ярус среднего отдела. Все они вскрыты скважинами только в северной части территории листа. Учитывая увеличение разреза в южном направлении, по аналогии с соседними районами, есть все основания предполагать, что в южной половине территории листа развит и московский ярус (рис. 2). Расчленение каменноугольных отложений приводится по данным С. Г. Вишнякова и др. (1961).

#### Нижний отдел

## Турнейский ярус (C<sub>1</sub>t)

Подъярус развит только в северо-восточной части площади листа и представлен инжнетурнейским и верхнетурнейским подъярусами, общая мощность которых не превышает 18 м.

## Нижнетурнейский подъярус

Малевский горизонт. У с. Булановка (скв. 3) к малевскому горизонгу условно отнесена пачка ритмично чередующихся известняков и глин мощностью 6 м, залегающая с резким угловым несогласием на кристаллических породах докембрия. Известняки светло-серые, мелко- и тонкозернистые, плотные, участками пятнистые за счет окремнения. Глины темно-серые известковистые с мелкими брахиоподами, в средней части заменяющиеся мергелями и глинистыми известняками. За пределами территории листа, северо-восточнее Нового Оскола, в отложениях, аналогичных описанным Л. С. Богуновой (1959, 1961), определены: Chonetes malevkensis S o k., Punctospirifer cf. malevkensis S o k., Schuchertella planiuscula (S e m. et M o e l l.) и др., характерные для малевского горизонта.

## Нижнетурнейский подъярус

Упинский горизонт мощностью 3 м (с. Булановка, скв. 3) литологически сходен с нижележащим малевским. Граница с последним проводится условно по подошве мелкозернистого песчаника, залегающего в основании упинских отложений. Представлены они переслаиванием темно-серой известковистой глины с глинистыми разностями известняков (до 0,5 м). Из района Нового Оскола в аналогичных отложениях Л. С. Богуновой (1959, 1961) определены: Chonetes cf. upensis S o k., Cancrinella panderi (A u e r b.), Plicatifera ivanovi S o k. и др., характерные для упинского горизонта.

# Верхнетурнейский подъярус

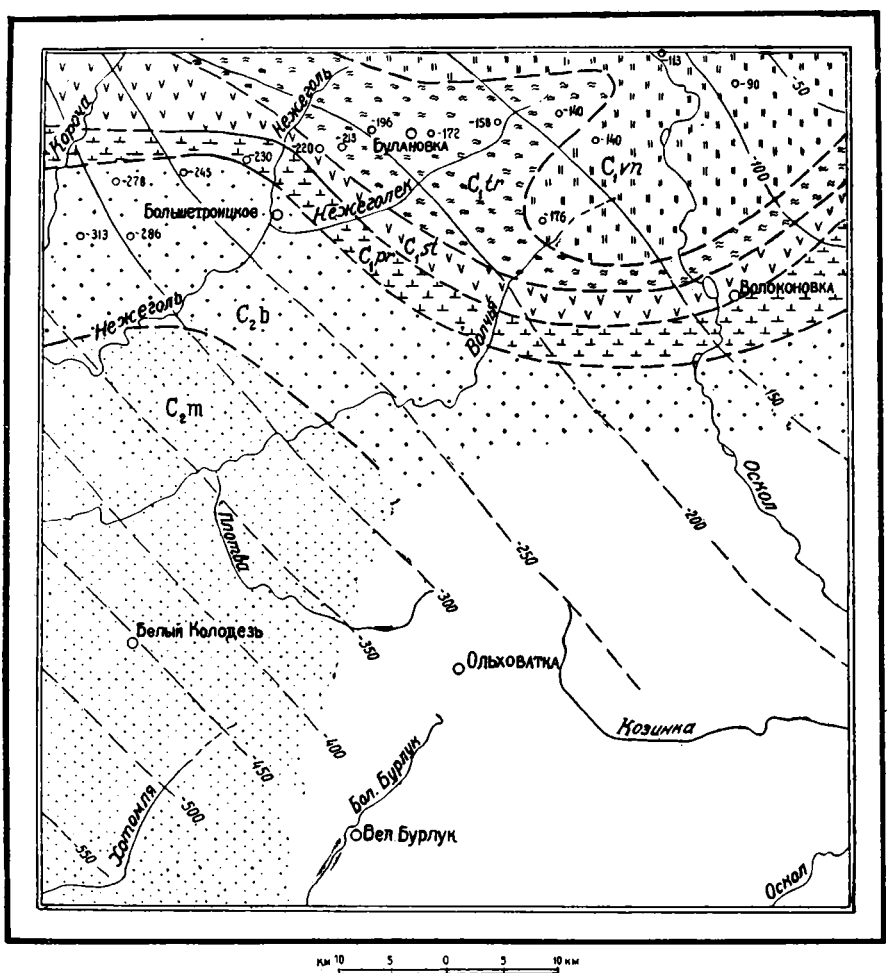
Черепетский горизонт. Отложения, условно отнесенные к черепетскому горизонту мощностью 9 м (с. Булановка, скв. 3), представлены известняком, глиной и серым алевритом (мощность 1 м). Известняк детритусовый с обломками брахиопод и пелеципод; глина в нижней части серая углистая, вверху— бурая, жирная, ожелезненная. Граница с упинскими отложениями проводится условно по подошве алеврита, залегающего в основании черепетского горизонта. Последний выделен по аналогии со сходными отложениями, развитыми на территории соседнего с востока листа М-37-XV, где черепетский возраст их доказан палинологически.

# Визейский ярус

В составе визейского яруса на территории листа выделяются средневизейский и верхневизейский подъярусы.

# Средневизейский подъярус (C<sub>1</sub>v<sub>2</sub>)

На северной половине площади листа подъярус распространен довольном широко, отсутствуя лишь на повышенных участках докембрийского рельефа. В северо-западной части района описываемые отложения залегают на размытой поверхности докембрийских пород, в северо-восточной части — с размытой поверхности докембрийских пород, в северо-восточной части — с размытой поверхности докембрийских пород, в северо-восточной части — с размытой поверхности докембрийских пород, в северо-восточной части — с размытой поверхности докембрийских пород, в северо-восточной части — с размытой поверхности докембрийского поверхности докембрийского пород, в северо-восточной части — с размытой поверхности докембрийского поверхности докембрит докембрит докембрит докембрит док



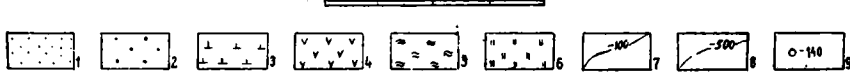


Рис. 2. Схематическая геологическая карта палеозойских отложений I-2— средний карбон: I — московский ярус  $(C_2m)$ ; 2 — башкирский ярус  $(C_2b)$ ; 3 — нижний карбон; 3 — намюрский ярус, противинский горизонт  $(C_1pr)$ ; 4 — визейский ярус, стешевский горизонт  $(C_1pr)$ ; 5 — то же веневский горизонт  $(C_1pr)$ ; 6 — то же, веневский горизонт  $(C_1pr)$ ; 7 — изогипсы кровли палеозойских отложений (через 50 M); 8 — то же, предполагаемые; 9 — абсолютная высота кровли палеозойских отложений по скважинам

вом на турнейском ярусе. Мощность их изменяется от 0 до 68 м (д. Макешкино, скв. 8). Представлены они в основании близ докембрийских возвышенностей (у с. Купино) пачкой ритмично чередующихся конгломератов, песчаников, алевролитов и аргиллитов. Конгломераты состоят в основном из обломков (4×2 см) хлоритовых сланцев, гидрогематита и мартита, мощность пачки 12,5 м. На участках, более удаленных от докембрийских возвышенностей, в основании подъяруса обычно залегают серые кварцевые песчаники мощностью 10,2 м. Верхняя часть разреза сложена пачкой (мощность 20 м) переслаивающихся каолинистых песчаников и песчаных глин, изредка с прослоем угля мощностью 0,4—0,5 м (д. Протопоповка и с. Верхне-Березово). Уголь бурый, глинистый, матовый, со стяжениями пирита.

М. А. Недошивиной (1961) из угля и глин определен комплекс спор, характерный для бобриковского горизонта: Trematozonotriletes variabilis (Waltz) Naum., T. punctatus Naum., Stenozonotriletes literatus (Waltz) Naum., Simozonotriletes bivialis Naum., Euryzonotriletes macroduplicatus Naum., E. subcrenatus (Waltz) Naum. Венчается разрез (скв. 2) серыми детритусовыми известняками (мощность 2,55 м), и вышележащими светлосерыми глинами (мощность 2,55 м), относящимися уже к тульскому горизонту.

## Верхневизейский подъярус

Алексинский горизонт ( $C_1al$ ) на площади листа развит, по-видимому, повсеместно, за исключением повышенных участков докембрийского рельефа. Залегает алексинский горизонт, как правило, на тульском горизонте и в редких случаях с размывом — на породах докембрия. Мощность его изменяется от 0 до 47 м (с. Верхне-Березово).

Алексинский горизонт сложен ритмично чередующимися известняками серыми, глинистыми с темно-серыми перекристаллизованными содержащими желваки черных кремней и глинами (до 9 м) бейделлитовыми, серыми, черными, углистыми (до 0,4 м), переходящими местами в уголь черный, полуматовый (0,1—0,45 м). В основании горизонта залегают песчаник и алевролиты (01—0,5 м), а на участках, расположенных непосредственно на докембрийских возвышенностях — рудная конгломерат-брекчия (до 1 м).

Из известняков, вскрытых скважиной в с. Слоновка, М. Ярцевой определены характерные для алексинского горизонта: Archaediscus moelleri var. gigas Raus., A. spirillinoides Raus., Endothyra omphalota Raus. et Reitl., Monotaxis gibba (Moell.), Eostaffella mosquensis Viss., E. proikensis

Raus. и др.

Михайловский горизонт (C<sub>1</sub>mh) развит, вероятно, повсеместно, отсутствуя только на самых высоких участках докембрийского рельефа. Залегает михайловский горизонт почти всюду на алексинском горизонте и участками с размывом — на породах докембрия. На севере площади листа мощность их 16—18 м, в юго-западной части района увеличивается, по-видимому, до 30 м. Михайловский горизонт сложен серыми стигмариевыми и пятнистыми перекристаллизованными известняками, ритмично чередующимися с органогеннообломочными (мощность прослоев 0,2—0,3 м), часто с желваками голубоватосерого кремня, с прослоями (до 1,2 м) в основании зеленовато-серыми, в средней и верхней части разреза гидрослюдисто-бейделлитовыми, темносерыми, участками углистыми, изредка с прослоями бурого угля (0,35 м).

На докембрийских возвышенностях в основании разреза залегают обломки переотложенного сидеритизированного гидрогематита и мартита, сце-

ментированные гидроокислами железа.

Из известняков, вскрытых скважиной в с. Слоновка, М. Ярцевой определены фораминиферы, встречающиеся в михайловском горизонте: Archaediscus ex gr. krestovnikovi Raus., A. ex gr. rugosus Raus., A. karreri Brady, Eostaffella mediocriss Viss., E. parva (Moell.) и др. Из водорослей в них встречены Calcifolium okense Schw. et Bir., C. punctatum Masl.

Веневский горизонт (C<sub>1</sub>vn) имеет, по-видимому, сплошное распространение. Залегают веневские отложения почти всюду на михайловских и лишь местами с размывом— на породах докембрия (повышенные участки докем-

брийского рельефа). Мощность их изменяется от 31 до 46 м. Сложены они известняками серыми органогенно-обломочными, местами перекристаллизованными брахиоподо-водорослево-фораминиферовыми, участками чередующимися с темно-серыми глинистыми детритусовыми с желваками голубоватосерых кремней, с подчиненными прослоями глин зеленых и темно-серых гидрослюдисто-бейделлитовых, участками известковистых с углефицированными растительными остатками. В основании горизонта обычно залегает глина (2—3,3 м), реже — прослой песчаника серого, кварцевого, мелкозернистого, косослоистого (0,5 м).

Л. С. Богуновой из известняков, вскрытых скважиной в с. Купино, определен Gigantoproductus latipriscus S a г. Из известняков, вскрытых скважиной в пос. Новый, М. Ярцевой определен комплекс фораминифер: Archaediscus baschkiricus (Theod. et Krest.), A. karreri Brady, Eostaffella ikensis Viss., E. mosquensis Viss., Ammodiscus volgensis Raus., Climacammina prisca Lip. и др., позволяющий отнести толщу к веневскому горизонту.

Тарусский горизонт (C<sub>1</sub>tr) имеет более ограниченное распространение по сравнению с веневским. Он отсутствует в крайней северной и северо-восточной частях листа. Северная граница его распространения проходит южнее дд. Стрелица, Кобылий Яр, Новый, Чапельное, Репьевка (см. рис. 2). Мощность горизонта изменяется от 21 до 34 м, увеличиваясь в юго-западном направлении, по-видимому, до 45 м. Тарусский горизонт залегает всюду на веневском. Представлен он известняками и доломитами с прослоем глины зеленой, известковистой, бейделлит-монтмориллонитовой (до 1 м). Известняки светло-серые органогенно-обломочные, в различной степени перекристаллизованные, участками доломитизированные, пятнистые за счет окремнения, местами кавернозные с желваками белых и голубых кремней. Доломиты серые с синеватым оттенком, участками плотные, кавернозные (каверны выполнены крупными ромбоэдрами доломита, пиритом и кристаллами кальцита) с желваками голубых кремней. Местами отмечается переслаивание доломитов и известняков. Возраст описываемых отложений подтверждается находками в них Gigantoproductus latiexpanus Sar.

Стешевский горизонт (C<sub>1</sub>st). Площадь распространения стешевского горизонта несколько меньше площади, занятой тарусскими отложениями, в связи с чем северная граница его распространения смещается к югу и проходит по линии Липцы — Березово — Становое — Ютановка. К северу от этой границы стешевский горизонт отсутствует, а южнее имеет, вероятно, сплошное распространение. Мощность описываемых отложений в северной части района изменяется от 0 до 26 м, увеличиваясь в юго-западном направлении, вероятно, до 40 м. Залегают они всюду на тарусских отложениях. Стешевский горизонт сложен известняками и доломитами с примазками (1—3 мм) глин. Известняки белые и светло-серые, органогенно-обломочные, фораминиферо-криноидные, участками мраморовидные, перекристаллизованные, доломитизированные, часто выщелоченные, кавернозные; по стенкам каверн развиты щетки кальцита. Доломиты серые, кавернозные (до 10 м), местами чередующиеся с известняками. Глины зеленовато-серые, листоватые, известковистые, гидрослюдисто-бейделлитовые.

За пределами территории листа (г. Валуйки) В. Н. Тихим (1941) из отложений, аналогичных описанным, определена часто встречающаяся в стешевском горизонте *Marginifera longispina* (Sow.).

# Намюрский ярус

# Нижненамюрский подъярус

Протвинский горизонт (C<sub>1</sub>pr). Площадь распространения протвинского горизонта еще более сокращается. Северная граница его несколько сдвигается на юг и проходит южнее с. Бол. Городище, д. Караичное, совх. Волоконовский, через с. Волоконовка и совх. Тавричанский. Мощность протвинских отложений в северной части района изменяется от 0 до 20 м, увеличиваясь в юго-западном направлении, видимо, до 40—45 м. Залегают они всюду на

стешевских отложениях. Протвинский горизонт сложен известняками белыми и светло-серыми, органогенно-обломочными, сильно выщелоченными, кавернозными, участками перекристаллизованными, окремнелыми, местами мраморовидными, изредка с прослоями глины зеленовато-серой, восковидной, монтмориллонитовой, в основании участками комковатой (до 2 м).

Возраст описываемых отложений подтверждается находками в известняках Striatifera striata (Fisch.). За пределами площади листа (г. Валуйки) В. Н. Тихим (1941) из отложений, аналогичных описанным, указывались также характерные для протвинского горизонта Gigantoproductus latissimus

(Sow.), Striatifera magna Jan.

#### Средний отдел

## Башкирский ярус (C2b)

Северная граница распространения башкирского яруса проходит через д. Протопоповка и сс. Верхне-Березово, Большетроицкое, Пятницкое (см. рис. 2). Мощность башкирского яруса в северо-западной части листа изменяется от 0 до 25 м. Залегают они на размытой поверхности протвинских отложений. Башкирский ярус сложен известняками светло-серыми до белых, крупнокавернозными, участками сильно выщелоченными, мучнистыми, чередующимися с известняками перекристаллизованными плотными коричневыми, местами доломитизированными; в основании известняковой толщи залегает прослой глины (до 2,7 м) зеленовато-серой, комковатой. В скв. 2 (д. Заводцы) в толще известняков встречен прослой (0,2 м) углистого сланца с пропластком (до 1 см) угля.

Башкирский ярус выделен по аналогии с отложениями, развитыми на территории соседнего с запада листа M-37-XIII, где из аналогичных известняков определены: Bradyina eonautiliformis Reitl, Pseudostaffella antiqua (Dutk.), Asteroarchaediscus postrugosus Reitl, и др.

## Московский ярус (C<sub>2</sub>m)

В пределах рассматриваемой территории ярус скважинами не вскрыт. Западнее листа, у с. Муром мощность описываемых отложений около 160 м; залегают они на башкирских осадках. Московский ярус сложен здесь глинами, алевритами и известняками. Из известняков и глин определен комплекс фораминифер, подтверждающий московский возраст их.

#### ЮРСКАЯ СИСТЕМА

Отложения юрского периода на территории листа развиты повсеместно. В разрезе их выделяются байосский и батский ярусы среднего отдела и келловейский, оксфордский, кимериджский и нижний волжский ярусы верхнего отдела. Вскрыты они главным образом только в северной части района скважинами, пробуренными Белгородской железорудной экспедицией ГУЦР и Петриковской партией Украинского геологического управления; в юго-восточной части листа буровая на воду скважина углубилась в толщу юрских отложений всего на 50 м (д. Кукуевка). Расчленение юрских отложений приводится по данным В. Н. Преображенской (1961).

## Средний отдел

# Байосский и батский ярусы (J2bj+bt)

Оба яруса имеют повсеместное распространение. В северной и северовосточной частях территории листа они залегают трансгрессивно с размывом на визейском и намюрском ярусах, а в центральной и южной его частях— на башкирском и московском ярусах. Мощность байосских и батских отложений в северной части района изменяется от 7 м (д. Немцево) до 86 (д. Заводцы, скв. 2), увеличиваясь в юго-западной части, по-видимому, до 140—150 м.

Нижняя часть описываемых отложений сложена в большинстве случаев однообразной толщей глин (до 50-60 м, скв. 2, 3) с подчиненными прослоями известняков (0,2 м), алевритов (0,3 м) и песков (до 5,5 м), верхняя — толщей песков (25-50 м) с маломощными прослоями глин, песчаников (до 1 м) и изредка бурого угля (до 0,3 м).

Глина серая, зеленовато-серая, участками коричневато-черная, плотная, аргиллитоподобная, неяснослоистая, с выполненными песком ходами илоедов, с прослойками бурого сидеритового аргиллита, с обломками пиритизированной древесины. Песок светло-серый, участками с синеватым оттенком, зеленый, разнозернистый, преимущественно мелко- и тонкозернистый, местами пылеватый, аркозовый, глинистый, с маломощными прослоями бурого сидеритового алевролита. Песчаник серый, крепкий с растительным детритусом. Алеврит коричневый, слюдистый, уплотненный. Известняк темно-серый, тонкокристаллический, крепкий, местами с трещинами, выполненными кальцитом. Из этих отложений определены Pseudomonotis doneziana Boriss., Pseudocosmoceras sp.

#### Верхний отдел

#### Келловейский ярус (J<sub>3</sub>cl)

Развит ярус повсеместно. По аналогии со смежной с запада территорией можно предположить, что в юго-западной части площади листа в составе келловейского яруса развиты все три подъяруса; в северной части района В. Н. Преображенской (1961) в ряде скважин выделяется только средний подъярус. Залегают келловейские отложения всюду на батских. Мощность их в северной части листа изменяется от 2 до 23 м, увеличиваясь в юго-западной части его, вероятно, до 40 м.

Келловейский ярус представлен песками с подчиненными прослоями глин (от 0,4 до 2,7 м), песчаников (от 0,2 до 6,7 м) и известняков (0,75 м). Песок зеленовато-серый и темно-серый, среднезернистый, аркозовый, участками глинистый, глинисто-оолитовый, уплотненный, местами со скоплениями обугленного растительного детрита, с желваками пирита. Глина зеленовато-серая, коричневая до черной, тонкослоистая, песчаная, с обуглившимися растительными остатками. Песчаник буровато-серый, кварцевый, среднезернистый, глинистый, участками оолитовый, известковистый. Известняк беловато-серый, тонкокристаллический, крепкий, местами глинистый.

В песке, песчанике и глинах встречены: Kosmoceras jason Rein., Gryphaea dilatata Sow., Pecten ex gr. doneziana Boriss., Cylindroteuthis okensis Nik., Nucula cf. nina Boriss., Pleurotomaria cf. buchi Orb. и др.

# Оксфордский ярус (J<sub>3</sub>0x)

Развит ярус широко; отсутствует он только в крайней северо-восточной части листа, к востоку от линии Гринев — Коровино — Щепкин. Оксфордские отложения залегают всюду на породах келловейского возраста. Мощность их в северной части района изменяется от 4 до 7 м, увеличиваясь в юго-западной части, по-видимому, до 35—40 м. Оксфордские отложения представлены глинами с подчиненными прослоями песка (0,2 м), песчаника (0,1—4 м) и известняка (до 1,8 м).

Глины зеленовато-серые, плотные, неяснослоистые, с раковинным детритусом, участками известковистые, в нижней части — оливково-коричневато-серые, тонкослоистые, изредка с галькой фосфорита (скв. 2).

Известняк светло-серый, крепкий, опесчаненный, с большим количеством

спикул губок.

Песчаник светло-серый, известковистый, со спикулами губок. Песок зеленовато-серый, глинистый, уплотненный, в основании местами грубозернистый.

Оксфордский возраст отложений подтверждается находками в них Perisphinctes cf. biplex Lor., Pleurotomaria münsteri Roem. и фораминифер: Spirillina kübleri Mjatl., Spirophthalmidium milioliniforme Paalz., S. sagittum E. Byk., S. birmenstorfense (Kübler et Zwingli) и др.

Ярус имеет более ограниченное распространение по сравнению с оксфордским, и к северо-востоку от линии сел Булановка — Волоконовка его отложения отсутствуют. В северо-западной части района кимериджский ярус залегает всюду с размывом на отложениях оксфордского века. Мощность его изменяется от 16 до 21 м, увеличиваясь в юго-западной части листа, по-видимому, до 30—40 м.

Кимериджские отложения представлены однообразной толщей глин. Глины светло-серые с зеленоватым оттенком, плотные, неяснослоистые, в нижней части оливково-коричневато-серые, слоистые с остатками пелеципод и ам-

монитов.

В основании толщи глин наблюдаются скопления крупной гальки фосфорита; местами желваки фосфорита наблюдаются и внутри толщи (у с. Булановка, скв. 3).

Из глин определены: Aulacostephanus eudoxus Orb., Exogyra virgula Goldf., Aspidoceras acanthicum Opp., а также фораминиферы: Epistomina tatariensis Dain, Lenticulina infravolgensis (Furss. et Pol.).

## Нижний волжский ярус (J<sub>3</sub>nv)

Выделен ярус впервые в пределах площади листа В. Н. Преображенской (1961). Распространен он, вероятно, повсеместно. Залегают нижневолжские отложения всюду с размывом: в северо-восточной части территории листа на келловейских и оксфордских породах, на остальной части ее — на кимериджских. Мощность нижневолжских отложений в северной части района изменяется от 10 до 45 м. На большей части территории сложены они глинами с редкими маломощными (0,1—0,4 м) прослоями песка зеленовато-серого и известняка серого, глинистого, детритусового. На крайнем севере (с. Слоновка, скв. 7) в разрезе их преобладают мергели (до 10 м).

Глины серые с зеленоватым или голубоватым оттенком, плотные, неяснослоистые, участками известковистые, с остатками аммонитов, ядрами пелеципод и ходами червей. В основании толщи глин прослеживается прослой мелкой черной фосфоритовой гальки, встречающейся изредка и в средней ча-

сти толщи (скв. 3).

Мергель серый и зеленовато-серый, плотный, с большим количеством об-

ломков раковин плохой сохранности.

В толще глин встречены Zaraiskites scythicus Vischn., Z. quenstedti Rouill., а из фораминифер Lenticulina infravolgensis (Furss. et Pol.), L. (Cristellaria) embaensis (Furss. et Pol.), а из остракод Cytherella ornata Lüb., Protocythere eximia (Sharap.), Palaeocytheridea grossopunctata (Chapm.), P. conspecta Lüb., P. elegans (Sharap.).

#### МЕЛОВАЯ СИСТЕМА

Отложения мелового периода на территории листа развиты повсеместно. В разрезе их выделяются неокомский надъярус, аптский и альбский ярусы нижнего отдела и сеноманский, туронский, коньякский, сантонский, кампанский и маастрихтский ярусы верхнего отдела. Верхняя часть разреза, начиная с сантона, наблюдается непосредственно в обнажениях, нижняя — вскрыта буровыми скважинами.

#### Нижний отдел

Неокомский надъярус (валанжинский, готеривский и барремский ярусы) и аптский ярус ( $Cr_1nc - ap$ )

Отложения неокомского надъяруса и аптского яруса развиты, вероятно, повсеместно. Выделены они на основании их стратиграфического положения и литологического сходства с заведомо неокомскими и аптскими отложениями,

развитыми в смежных районах. Не исключена возможность, что местами какая-то часть из описываемых отложений выпадает из разреза. Имеющийся в настоящее время фактический материал не позволяет разделить эти осадки, поэтому они картируются нерасчлененными. Залегают они с размывом на

нижневолжских отложениях верхней юры.

Мощность их в северной части района изменяется от 4 до 10 м. Сложены эти отложения песком, реже алевритом и глиной. Песок серый и темно-серый с зеленоватым оттенком, кварцево-глауконитовый, мелко- и среднезернистый, слабоглинистый, слюдистый, местами с гнездами гипса. Алеврит светло- и темно-серый, участками с розоватым оттенком, уплотненный, с пиритизированным растительным детритом. Глина темно-серая и светло-зеленовато-серая, грубослоистая с тонкими прослоями сидерита. На рассматриваемой территории руководящих ископаемых в неокомских и аптских отложениях не встречено. В районе, примыкающем к описываемому с запада, определены спорово-пыльцевые комплексы, свойственные неокомскому и аптскому времени.

#### Нижний и верхний отделы

Альбский и сеноманский ярусы (Cr al+cm)

Эти отложения распространены, вероятно, повсеместно. Имеющийся фактический материал не позволяет рассматривать их отдельно. Альбские и сеноманские отложения залегают всюду на неоком-аптских осадках. Мощность их изменяется от 14 до 31 м. Представлены они однообразной толщей песка. Песок серый и темно-серый, с зеленовато-желтым оттенком, кварцево-глауконитовый, мелко- и среднезернистый, глинистый, местами переходящий в песчаник (0,3 м). Вверху песок (0,5—2 м) известковистый, с ходами илоядов, выполненными карбонатным материалом, часто с прослоем гальки фосфорита (0,3—0,5 м), иногда сцементированным в плиту (скв. 4). В основании песок белый, мелкозернистый, слюдистый. Из верхней части толщи песка определены фораминиферы, свойственные сеноманскому ярусу: Anomalina globosa (В г о t z.), A. berthelini K eller и др. На соседней с запада территории из нижней части толщи описываемых отложений определен спорово-пыльцевой комплекс, характерный для альбского яруса.

# Верхний отдел

Туронский и коньякский ярусы (Cr<sub>2</sub>t+cn)

Отложения эти развиты повсеместно. Залегают они всюду с размывом на сеноманских отложениях; на дневную поверхность не выходят, хотя на крайнем севере, в долине р. Оскола, залегают непосредственно под современным аллювием. Мощность их довольно выдержана и изменяется от 70 до 90 м, увеличиваясь в юго-западном направлении. Представлены они однообразной толщей мела. Мел белый, пишущий, местами глинистый, часто переполнен мелкими обломками призматического слоя иноцерамов, в основании песчаный с галькой фосфорита.

Возраст описываемых отложений устанавливается наличием в них многочисленных фораминифер: Stensiöina praeexsculpta (Keller), Bifarina regutaris Keller, Bolivinita eouvigeriniformis Keller, Anomalina berthelini Keller, A. globosa (Brotz.), Stensiöina emscherica Barysh., Anomalina thalmanni Brotz., A. infrasamtonica Balakh m., A. ammonoides (Reuss), Bolivinita elegi Cush m. и др., характерных для туронского и коньякого

ярусов.

## Сантонский ярус

Отложения сантонского яруса развиты повсеместно и залегают всюду согласно на мелу коньякского яруса. Представлены они однообразной толщей мергелей и мела, которые макроскопически почти не различаются между собой. Мел белый, пишущий, плотный, звонский, участками глинистый. Мергель светло-серый до белого, часто мелоподобный, участками темно-серый, плотный, толстоплитчатый с ходами илоядов, местами с конкрециями или горизонтальными прослоями кремня темно-серого до черного.

По остаткам фораминифер сантонские отложения делятся на два

подъяруса, картируемые отдельно.

# Нижнесантонский подъярус (Cr<sub>2</sub>st<sub>1</sub>)

Подъярус развит повсеместно. К нему относится мергельно-меловая толща, мощность которой увеличивается в юго-западном направлении от 42 до 65 м. Из них определены единичные экземпляры: Spondylus cf. spinosus (Sow), Ostrea sp., Pecten sp. и богатый комплекс фораминифер, характерный для нижнесантонского подъяруса: Stensiöina exculpta (Reuss), Anomalina costulata (Marie), A. umbilicatula Mjatl., A. infrasantonica Balakhm. и др.

# Верхнесантонский подъярус (Cr<sub>2</sub>st<sub>2</sub>)

Подъярус распространен также на всей площади листа, а в северной и восточной частях района, в бассейнах рр. Корочи, Нежеголи, Оскола и Козинки наблюдается непосредственно в обнажениях. На остальной части территории он изучен по скважинам. Мощность его изменяется от 45 до 110 м, увеличиваясь в юго-западном направлении. Из верхнесантонских отложений определен комплекс фораминифер: Anomalina clementiana (Orb.), A. dainae Mjatl., A. stelligera (Marie), Cibicides temirensis Vass., Ataxophragmium aff. orbignynaeformis Mjatl., Bolivinoides aff. opifex Vass. и др.

# *Кампанский ярус* (Ст₂ср)

Развит ярус на большей части листа. Отсутствует он только на северовостоке, где был размыт в предпалеогеновое время, а также участками в долинах рр. Оскола, Корочи, Нежеголи, Козинки и в верховье р. Волчье, где непосредственно под неогеновыми и четвертичными породами залегают сантонские осадки.

Мощность кампанского яруса в северной части площади листа изменяется от 0 до 35 м, в центре его — от 45 до 60 м, а в юго-западной части увеличивается, по-видимому, до 80—90 м. Хорошие обнажения их наблюдались по правобережьям рр. Нежеголи, Волчьей, Оскола и Козинки. На осталь-

ной части территории они вскрыты скважинами.

Кампанский ярус представлен в основном мелом, местами нижняя часть его сложена мергелем. Мел белый, пишущий, плотный звонкий, трещиноватый с раковистым изломом, с налетами и дендритами окислов марганца, с ходами илоядов, местами окремнелый, с конкрециями светло-серого, почти белого кремня. Мергель светло-серый, участками белый, мелоподобный, плотный, слабослюдистый, с ходами илоядов, трещиноватый, участками окремнелый, с конкрециями серого и темно-серого кремня и с прослоями белого мела.

Kампанский возраст пород подтверждается находками в них: Belemnitella mucronata mucronata Schloth., B. mucronata var. senior Now., B. mucronata var. minor Jeletz., B. langei Schat. и фораминифер: Anomalina monterelensis Marie, Bolivina kalinini Vass., Bolivinoides decoratus (Jones.), Cibicides aktulagayensis Vass., C. voltzianus (Orb.), Orbignyna simplex

(Reuss)1

В нижней части толщи кампанского мела и мергеля почти повсеместно наблюдается кремнисто-карбонатная и фосфоритовая галька размером от 0,5 до 5—6 см, источенная сверлящими моллюсками. К этой же части разреза

9\*

приурочено обычно скопление остатков белемнитов, пелеципод, гастропод и

позвонков и чешуи рыб.

По этому фосфоритовому горизонту как на площади листа, так и на смежных территориях проводится граница между отложениями сантона и кампана, так как по фаунистическим данным провести ее не всегда возможно: почти все формы фораминифер, встречающиеся в верхнем сантоне, переходят и в нижний кампан. Поэтому не исключена возможность, что часть толщи, отнесенной к верхнему сантону, имеет нижнекампанский возраст, а фосфоритовый горизонт залегает не в основании кампанского яруса, а внутри толщи кампана.

## Маастрихтский ярус (Cr<sub>2</sub>m)

Развит ярус лишь в крайней южной части площади листа. Граница распространения его проходит южнее линии Котовка — Ново-Алексадровский — Приколотное — Хатное — Ново-Петровка — Сухарево. На остальной части территории он, вероятно, отлагался, но впоследствии был размыт и сохранился лишь в виде изолированных участков (в бассейне р. Козинки, в 15 км к северу от с. Хатное). В пределах площади распространения маастрихтские отложения отсутствуют местами в долинах рр. Хотомли, Оскола, Нижне- и Верхне-Двуречной, где непосредственно под четвертичным и неогеновым аллювием залегает мел кампанского возраста. Залегает маастрихтский ярус всюду на кампанском без видимых следов перерыва, и достоверно граница между ними проводится только по остаткам фораминифер. На крайнем юге площади листа максимальная мощность их 38 м, к северу она постепенно сокращается до полного выклинивания. Хорошие обнажения их наблюдались по правобережью р. Оскола и в бассейне р. Верхне-Двуречной.

Представлен маастрихтский ярус однообразной толщей мела и мергеля. Мел белый, светло-серый, чистый, однородный, плотный, звонкий, с раковистым изломом, участками с ходами илоядов, слабослюдистый, с налетами окислов марганца, трещиноватый, местами толстоплитчатый (1,5—2 м). Мергель светло-серый до белого, мелоподобный, с ходами илоядов, плотный, участками окремнелый, слюдистый, с остатками рыбьей чешуи.

В толще мергеля и мела встречены: Belemnitella lanceolata Schloth, а из фораминифер: Bolivina incrassata Reuss, Bolivinoides aff. draco (Marss.), Cibicides aff. bembix (Marss.), Stensiöina stellaria (Vass.),

Reussella aff. limbata (White) и др.

# Кора выветривания верхнемеловых отложений

В восточной и центральной частях площади листа на отложениях сантонского, кампанского и маастрихтского ярусов без каких-либо следов перерыва залегает маломощный прослой (от 0,01 до 0,5 м) глины, изредка опоки. Глина темно-серая, до черной, часто коричневато-бурая, плотная, жирная, в основании иногда известковистая. Опока светло-серая, коричневато-бурая, плотная, местами окремнелая. Глины и опоки представляют собой, по-видимому, остаточный продукт от выщелачивания мергельных и меловых пород.

На геологической карте и разрезах эти отложения из-за их малой мощности и неясного возраста не выделены. Они объединены с подстилающими

их сантонским, кампанским или маастрихтским ярусами.

#### ПАЛЕОГЕНОВАЯ СИСТЕМА

Палеогеновая система представлена эоценом и олигоценом, подразделяющимися в свою очередь на каневские, бучакские, киевские (эоцен), харьковские (олигоцен) и полтавские слои (олигоцен — миоцен).

#### Эоцен

#### Нижний эоцен

## Kаневские слои $(Pg_2^1kn)$

К каневским слоям условно отнесена однообразная палеонтологически не охарактеризованная толща песчаников мощностью до 8 м, залегающая трансгрессивно с размывом на породах верхнего мела.

Каневские отложения имеют весьма ограниченное распространение: сохранились они только на севере площади листа — в бассейне р. Нежеголи, где у с. Булановка и в районе дд. Остаповка, Шандыбовка, Дубовинка и Максимовка наблюдаются их хорошие обнажения. Каневские слои представлены песчаником зеленовато-серым, при высыхании светло-серым до белого, тонкозернистым, кварцево-глауконитовым, опоковидным, слюдистым; изредка в нем встречаются зубы рыб и мелкие неопределимые отпечатки раковин. Обычно песчаник слабый, но местами переходит в плотный окремненный; в основании толщи в песчаниках содержатся гравийные зерна кварца и многочисленная хорошо окатанная галька кремня, кварца и фосфорита размером до 10 см. В этой же части разреза песчаник часто окремнелый (до 10 см). За пределами рассматриваемой территории (лист M-37-VII) у с. Шопино в 1956 г., впервые из песчаников, аналогичных описанным, были собраны остатки пелеципод, среди которых Р. Л. Мерклиным определены Nucula bowerbanki Wood., Musculus elegans (Sow.) палеоцен — нижнего эоцена. В 1958 г. при дополнительных сборах там же В. П. Семеновым была обнаружена Avicula aiziensis Dech. По указанным остаткам точная датировка песчаников невозможна, но судя по увязке со смежными листами они могут быть условно отнесены к нижнему эоцену.

## Средний эоцен

# Бучакские слои (Pg<sub>2</sub>2bč)

К бучакским слоям условно отнесена палеонтологически не охарактеризованная толща песка мощностью до 2 м, залегающая на породах верхнего 
мела и развитая только в южной части площади листа. Бучакские слои наблюдаются всего в двух пунктах — в районе дд. Каплановка и Арбузовский 
(по правобережью р. Хотомли). Кроме того, они картируются по правобережью р. Гнилицы (д. Гнилица 2-я), по увязке со смежным южным листом, 
где мощность их составляет около 5 м и по левобережью р. Оскола (южнее 
д. Углово), по увязке с сопредельным восточным листом, где мощность их 
достигает 2 м. Песок светло-зеленовато-серый и белый, кварцево-глауконитовый, слюдистый, рыхлый, тонко- и мелкозернистый, с крупными и гравийными 
зернами кварца и кремня.

На основании стратиграфического положения и литологического состава описанные отложения по аналогии со смежными районами сопоставляются с нижнебучакскими слоями М. Н. Клюшникова (1953); возраст их соответствует, вероятно, среднему эоцену, однако не исключена возможность, что они

захватывают частично и верхи нижнего эоцена.

# Верхний эоцен

# Киевские слои (Pg<sub>2</sub>3kv)

Развиты слои на территорин листа почти повсеместно; отсутствуют они лишь на участках современных эрозионных размывов и на значительных площадях, занятых четвертичными и неогеновыми террасами. Залегают они трансгрессивно с размывом на различных ярусах верхнего мела, реже на каневских и бучакских слоях. Мощность киевских слоев возрастает с севера на юг от 15 до 48 м. Хорошие обнажения их наблюдались в бассейнах рр. Оскола, Козинки, Волчьей, Нежеголи, Корочи, Хотомли и Бол. Бурлука.

В разрезе киевских отложений по литологическому составу выделяются две пачки: нижняя — песчаная с базальным галечником в основании и верхняя — глинистая в средней части со следами размыва, к которому приурочен

прослой фосфорита. В северо-западной, северо-восточной и южной частях

района породы обеих пачек часто известковисты.

Нижняя пачка мощностью от 0,3 до 10 м, обычно 3—5 м, сложена песком, иногда уплотненным до песчаника, невыдержанным по мощности (до 2 м) и простиранию. Песок зеленовато-серый и зеленовато-желтый с гнездами светло-серого, кварцево-глауконитовый, с ходами илоядов, мелко- и среднезернистый, с гравийными зернами кварца, кремня и реже фосфорита, образующими изредка до четырех линзовидных прослоев (от 7 до 45 см). В основании песок и песчаники ожелезнены и обогащены гравием и галькой кварца, кремня и фосфорита (размером от 1 до 10 см) и реже конкрециями песчаного фосфорита размером до 30 см (на юге площади листа).

Верхняя пачка представлена глинами в средней части с прослоем песка, с фосфоритами. Глина, слагающая нижнюю часть пачки, мощностью от 0,6 до 17 м, обычно 5—7 м, светло-желтовато-зеленая, глауконитовая, участками с ходами илоядов, с редкими гравийными зернами кварца и кремня, местами переходящая в алеврит глинистый, с мелкими гнездами и включениями песка светло-серого до белого, мелкозернистого. Переход от глины

к ниже- и вышележащим пескам постепенный.

Песок мощностью от 0,1 до 7 м, обычно 1,5—2 м, светло-серый с желтовато-зеленым оттенком, глауконитовый, глинистый, тонкозернистый, переходящий участками в алеврит, с ходами илоядов, местами уплотнен до рыхлого песчаника (0,2—1,5 м). В песке рассеяны сростки (причудливой формы) и конкреции песчаного фосфорита размером 1—3 см; местами они образуют скопления в виде прослоя мощностью от 1 до 30 см. На севере площади листа (по правобережью р. Корочи и в районе хуторов Квашин, Щепкин, Пыточный, Красная Нива), где в разрезе отсутствует нижняя пачка песков и глина (по-видимому, они здесь размыты), в основании описываемых песков наблюдается галька кварца, кремня и фосфорита.

Разрез верхней части глинистой пачки непостоянен по своему составу. На северо-западе, северо-востоке и на крайнем юге листа выше песка местами залегает зеленовато-серая глауконитовая известковистая глина мощностью от 0,7 до 6,5 м, обычно 1,5—2 м, тонкопесчаная до алевритистой, участками с крупными зернами кварца и неопределимыми отпечатками раковин и остатками чешуи рыб. Венчается здесь разрез бескарбонатной глиной мощностью от 3 до 21 м, обычно 12—15 м, отличающейся от вышеописанной лишь иной поверхностью выветривания (мелкощебенчатой) и более зеленой окраской, участками она алевритовая.

В центральной части территории листа, где отсутствует известковистая глина, выше песка залегает бескарбонатная опоковидная глина, замещающаяся местами (по левобережью р. Волчьей, в бассейне р. Козинки, по правобережью р. Оскола и в верховье рек Верхне-Двуречной и Бол. Бурлука) диатомитом и опокой (6—14,5 м). Опока зеленовато-серая до белой, на поверхности выветривання распадающаяся на скорлуповатые отдельности.

Минералогический анализ киевских отложений показал, что в них преобладает циркон (30%), примерно равные содержания рутила, дистена, турмалина и ставролита (соответственно 10,8—10,8%, 9,5—8,5%). Содержание граната 11%, силлиманита 3,5%; в небольших количествах присутствуют эпидот, цоизит, роговая обманка и пироксены. Обращает на себя внимание значительное содержание полевых шпатов (8%). Для глинистых минералов киевских отложений характерна гидрослюда с примесью монтмориллонита и реже — каолинит; в единичных случаях преобладает монтмориллонит или бейделлит.

Общий облик флоры диатомовых водорослей из киевских глин соответствует флоре киевских слоев эоцена Украины; причем флора из глин нижней части пачки относится к более мелководной фации.

В известковистых глинах и песках верхней и нижней пачек определены многочисленные фораминиферы, характерные для верхнего эоцена: Anomalina granosa (Hantken), Bolivina antegressa Subb., Bulimina ex gr. truncana Gümb., Cibicides dutemplei Orb., Clavulina cyclostomata Gall et Moor,

Uvigerina pygmea Orb., Guroidina soldanii Orb., Guttulina irregularis (Orb.), Marginulina fragaria Gümb, Pseudoparella almaensis (Sam.) и др. Из опок и глин определены многочисленные радиолярии, подтверждающие также их верхнеэоценовый возраст.

#### Олигоцен

## Харьковские слои (Pg<sub>3</sub>hr)

К харьковским слоям условно отнесена палеонтологически не охарактеризованная толща песков мощностью до 14 м (на севере обычно 2—3 м, на юге — 6—8 м), залегающая без видимых следов размыва на киевских отложениях. Харьковские отложения слагают водоразделы, склоны речных долин, балок и оврагов. Наиболее хорошие обнажения их наблюдались на юге территории листа в бассейнах рек Козинки, Бол. Бурлука, Гнилицы и Волчьей.

Представлены они песками, местами уплотненными до слабосцементированного песчаника (от 0,4 до 1 м), в средней части разреза в них наблюдается прослой глины (от 0,8 до 1,5 м). На юге территории листа (в бассейне р. Гнилица) к харьковским слоям отнесена своеобразная толща пород, представляющая собой ритмичное чередование тонких прослоев (до 2 см) глины ярко-зеленой и песка светло-серого до белого. Видимая мощность этой толщи 9 м. Песок обычно серовато-зеленый и желтовато-зеленый, тонкозернистый до алеврита, реже мелкозернистый, глауконитовый, сильно глинистый, неравномерно ожелезненный; иногда верхняя часть песка в результате элювиальных процессов окрашена в яркие красные тона (на юге площади листа); в основании песок участками ожелезнен и содержит лимонитовые конкреции, крупные и реже гравийные зерна кварца. Глина светлозеленая и желтовато-серая, тонкосланцеватая, скорлуповатой отдельности, с примесью песка светло-зеленовато-серого, тонкозернистого, глауконитового.

По составу минералов харьковские отложения почти не отличаются от киевских. Здесь также преобладают тяжелые устойчивые минералы: циркон, рутил, дистен, турмалин и ставролит, содержания которых соответственно 45,6, 12,2%, 9,9%, 8,1%, 5,9%. В отличие от киевских отложений в них наблюдается обратное соотношение между гранатом (3,7%) и силлиманитом (7,3%). Для глинистых минералов характерна гидрослюда, в виде примеси каолинит, монтмориллонит и бейделлит.

Органических остатков, подтверждающих харьковский возраст описываемых отложений, почти не обнаружено, если не считать, что в глинах (скв. 18, с. Хатное) Г. С. Королевой (1959) указаны диатомовые водоросли, общие как для киевских, так и харьковских отложений других районов. Радиолярии из харьковских отложений, по заключению Р. Х. Липман, представлены верхнеэоценовыми видами. За пределами площади листа, в окрестностях г. Харькова, В. П. Семеновым (1959) из харьковских слоев были отобраны образцы, в которых определены фораминиферы, характерные для верхов верхнего эоцена. Из вышесказанного следует, что описываемые отложения вероятнее всего принадлежат верхнему эоцену. Однако для увязки с соседними листами в соответствии с существующей стратиграфической схемой палеогена харьковские слои условно датируются олигоценом.

Непосредственно севернее рассматриваемой площади на водоразделе рр. Оскола и Сев. Донца харьковские отложения отнесены, вероятно, ошибочно к киевским, поэтому листы M-37-XIV и M-37-VIII по рамке не увязаны.

#### ПАЛЕОГЕНОВАЯ и НЕОГЕНОВАЯ СИСТЕМЫ

#### Верхний олигоцен — нижний миоцен

## Полтавские слои $(Pg_3 - N_1pl)$

Полтавские слои мощностью от 6 до 35 м на площади листа широко развиты. Приурочены они к водораздельным пространствам. Полтавские слои залегают на харьковских без видимых следов размыва. Хорошие обна-

жения их наблюдались у сс. Приколотное, Ольховатка, хут. Шапкин, в районе дд. Дегтярное, Подсреднее, Огибное, Тулянка и в других пунктах. Литологически полтавские слои расчленяются на две пачки.

Нижняя пачка мощностью от 2 до 23 м представлена песками с незначительными прослоями серых тонкопесчаных глин (до 0,2 м) и линзами светло-желтых опок (до 2 см). Песок белый, ярко-желтый, оранжевый, сиреневый, малиновый, розовый, то чисто кварцевый, участками сыпучий, местами слабоглинистый, разнозернистый (преимущественно мелко- и среднезернистый), горизонтально- и реже косослоистый, с конкрециями песчаника светло-серого, розового, то сливного, то участками известковистого, вверху с линзовидными прослоями (до 5 см) и гнездами белой каолиноподобной глины. На отдельных участках в основании песок ожелезнен и содержит прослои железистого песчаника (до 0,4 м) с крупными зернами кварца различной степени окатанности. Верхняя пачка мощностью от 1 до 30 м, являющаяся элювием нижележащих пород, сложена пятнистоокрашенными песками. Пески обычно красные, вишневые, малиновые с включениями и пятнами серых, желтых и охристых, кварцевые, разнозернистые (от тонко- до крупнозернистых), участками уплотненные до слабых песчаников (до 1,2 м). Местами пески становятся сильно глинистыми и постепенно переходят в супеои и суглинки. В них часто наблюдаются железисто-марганцовистые бобовины и оолиты.

Глина светло-серая, кирпично-красная и малиновая с включениями и линзами песка кирпично-красного.

По ассоциациям минералов нижняя толща полтавских отложений отличается от харьковских заметным снижением содержания полевых шпатов (3%) и увеличением количества силлиманита (17,7%) при почти полном отсутствии граната (1%). В верхней толще уменьшается количество силлиманита (10,3%) и еще более снижается содержание полевых шпатов (0,8%).

В пределах рассматриваемой территории никаких определимых органических остатков в полтавских отложениях не встречено. Однако по увязке с сопредельными районами они условно датируются верхним олигоценом—нижним миоценом.

#### НЕОГЕНОВАЯ СИСТЕМА

В составе неогеновой системы выделены отложения неустановленного возраста — шапкинская толща и нерасчлененные плиоценовые (?) отложения.

# Шапкинская толща (Nšp)

Толща картируется впервые и названа по опорному обнажению у хут. Шапкин, расположенному в бассейне р. Нежеголи. Описываемая толща мощностью до 10 м представлена пестроокрашенными песчано-глинистыми породами, залегающими с размывом на полтавских отложениях. Перекрыты они четвертичными суглинками. Шапкинские отложения слагают самые высокие водоразделы и имеют более ограниченное распространение по сравнению с полтавскими. Хорошие обнажения их наблюдались лишь в верховьях балок и оврагов бассейнов рр. Нежеголи, Волчьей, Бол. Бурлука, Оскола и Козинки. Представлены они глинистыми песками, суглинками и песчаными глинами — вишневыми, малиновыми, мясо-красными с пятнами и включениями серых, светло-коричневых и ярко-желтых. Глины и суглинки комковатой структуры, неравномерно ожелезненные, с марганцовистыми бобовинами, с единичными крупными и гравийными зернами кварца. В основании толщи чаще всего рассеяны и реже сгружены в виде прослоя (от 2-3 см до 1 м) многочисленные железисто-марганцовистые бобовины и оолиты, галька, щебенка и угловатые обломки железистого песчаника и песчано-карбонатные стяжения («дутики» до 30 см).

Вся толща пород элювиирована. Минеральный состав шапкинских отложений в качественном и количественном соотношениях почти совершенно

аналогичен верхней толще полтавских песков. Фауны и растительных остатков в ней не обнаружено, возраст ее не ясен. По мнению М. Н. Грищенко (1961), формирование толщи происходило в миоцене, однако не исключено, что она образована в более позднее плиоценовое время.

#### Плиоценовые (?) отложения нерасчлененные (N2?)

К отложениям этого времени, картируемым на площади листа впервые, условно отнесены песчано-глинистые образования мощностью 15—20 до 38 м, широко развитые на западе района и тесно связанные с долиной р. Сев. Донца и его левых притоков. Они слагают три яруса террас, довольно четко выделяющихся морфологически (см. раздел «Геоморфология»). Однако чрезвычайное сходство литологического состава аллювиальных отложений не позволяет картировать их раздельно, поэтому на карте дочетвертичных отложений они объединены. Залегают они преимущественно на породах верхнего мела, на киевских и реже на харьковских осадках. Хорошие обнажения их наблюдались в бассейне р. Нежеголи, на левобережье р. Волчьей и в среднем течении р. Бол. Бурлука. Полный разрез их вскрыт картировочными скважинами по створам рр. Корочи (рис. 3), Нежеголи и Волчьей (Розановская и др., 1960). Представлены аллювиальные отложения песками и глинами. В основании их, как правило, залегает песок (от 1,5 до 15 м) белый, светло-серый, желтый, кварцевый, сыпучий, среднезернистый, горизонтальнослоистый, с гравием кварца и кремня.

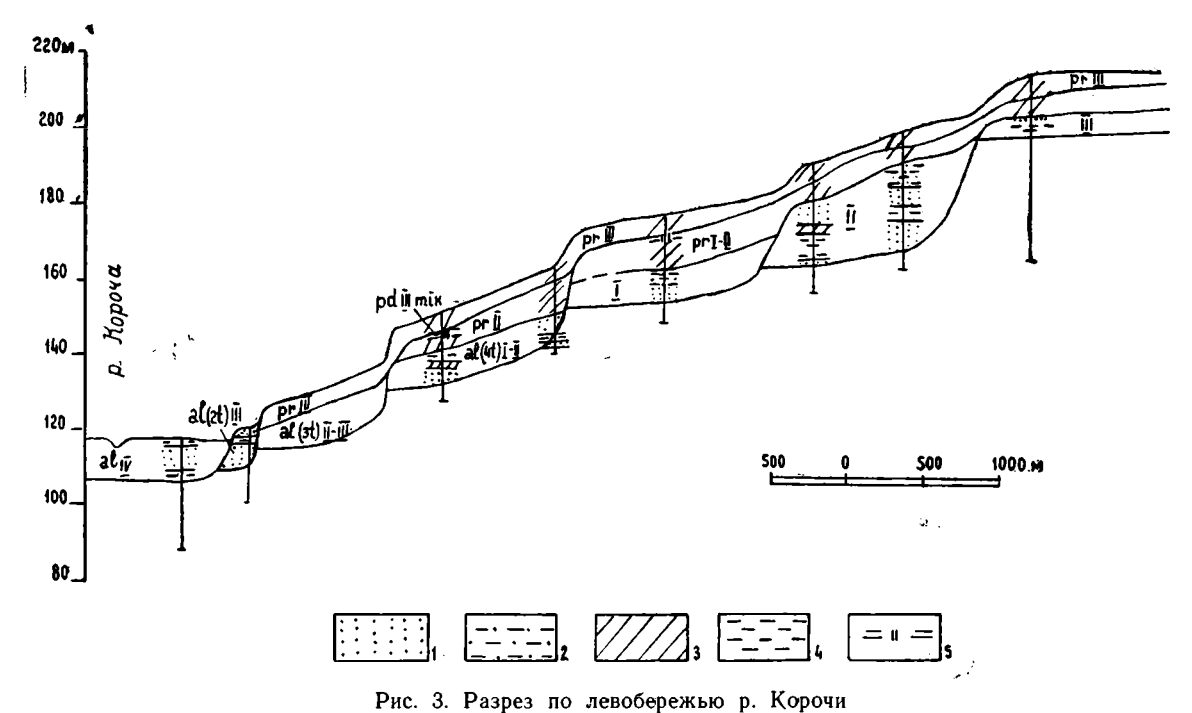
Выше залегает глина (до 6 м) серая до черной, тонкопесчаная, неяснослоистая, участками ожелезненная, с растительными остатками. Венчается разрез песком (от 7,5 до 26 м) серым и желтым, кварцевым, мелкозернистым, изредка с тонкими прослоями суглинка и глины серой песчаной. Вверху песок (3—9 м) обычно пятнистый, преимущественно кирпично-красный с характерными включениями серого, глинистый, участками уплотненный, с марганцовистыми и железистыми бобовинами. В этой части разреза породы, представляющие собой элювиальные образования, содержат такие же ассоциации минералов, что и в шапкинской толще. Малосущественными отличиями может служить заметное снижение содержания ставролита и незначительное увеличение количества роговой обманки. У хут. Сиротский (из скв. 16) М. Й. Грищенко (1961) исследована пачка черных глин, слагающая нижнюю часть разреза плиоценового (?) аллювия, связанного с наиболее высоким уровнем неогеновых террас района. Для самой нижней части этой пачки характерны спектры с довольно разнообразным составом пыльцы древесных. Наряду с пыльцой гинковых и хвойных Podocarpus (до 2%) и единичных зерен Tsuga, Cupressaceae в них присутствует и пыльца лиственных пород: Alnus (до 20%), Tilia (до 5%), Betula (до 2%), Myrtaceae, Ilex, Quer-

В спектре верхней части пачки господствует пыльца хвойных. Почти совершенно исчезает пыльца лиственных, а пыльца недревесных значительно сокращается. Такого рода лесные спектры при крайне ограниченном участии пыльцы Cupressaceae, Podocarpus, Tsuga, Myrtaceae, Ilex, Ginkgo были встречены в плиоценовых отложениях более восточных районов бассейна р. Дона.

Неогеновые элювиальные образования довольно широко распространены на территории листа, на всех палеогеновых и неогеновых породах. Описаны они выше при характеристике соответствующих стратиграфических подразделений, а на геологической карте показаны штриховкой поверх подстилающих пород.

#### ЧЕТВЕРТИЧНАЯ СИСТЕМА

Четвертичный покров в пределах площади листа отличаются простотой строения и малочисленностью слагающих его типов пород. Эта особенность обусловлена расположением района в пределах Средне-Русской возвышенности, не покрывавшейся ледником даже при максимальном оледенении. В составе отложений выделяются два основных комплекса: покровный, состоя-



I — пески; 2 — супеси; 3 — суглинки: 4 — глины; 5 — погребенияя почва микулинского межледниковья I — нижняя плиоценовая (?) терраса; II — средняя плиоценовая (?) терраса; III — верхняя плиоценовая (?) терраса

щий из нерасчлененных отложений перигляциальных зон на водоразделах, делювнальных образований на склонах и древнебалочных аллювиально-делювиальных отложений и аллювиальный комплекс, состоящий из древних аллювиальных осадков и современных аллювиальных, озерных, болотных и делювиальных отложений.

#### Нижне- и среднечетвертичные отложения

Аллювиальные отложения IV надпойменной террасы (al (4t) I—II) пользуются наибольшим распространением, протягиваясь сплошной полосой вдоль левого берега и в виде небольших площадок по правобережью рр. Корочи, Нежеголи, Волчьей, Бол. Бурлука и их левых притоков. В долине р. Бол. Бурлука аллювий залегает на палеогеновых отложениях, по остальным рекам — на размытой поверхности верхнего мела. Мощность аллювия в среднем 9—11 м, максимальная 21 м. Представлен он песками светло-серыми и ржаво-бурыми, кварцевыми, средне- и мелкозернистыми, косо- и горизонтальнослоистыми с прослоями глины темно-серой до черной, местами с прослоями и линзами гальки кварца, опоки и мела. В отложениях IV террасы по сравнению с плиоценовыми (?) резко увеличивается содержание неустойчивых минералов — полевых шпатов (16,3%), эпидота и цоизита (12,5%) и незначительно роговой обманки. Из устойчивых минералов резко снижается содержание силлиманита (0,6%). Остальные минералы присутствуют примерно в таких же количествах. Почти повсеместно наблюдается двучленное строение аллювия IV террасы; верхняя и нижняя часть его разделены прослоем слабо выраженной погребенной почвы.

Аллювий террасы перекрывается средне- и верхнечетвертичным (pr II—III) комплексом перигляциальных отложений (5—6 до 11 м), разделенных прослоем (0,4—0,5 м) погребенной почвы. На карте эти отложения

показаны штриховкой.

Р. Х. Слуцкой и П. В. Вороновым (1952) на р. Сев. Донце (у с. Шуровка) в суглинках, перекрывающих верхнюю часть аллювия террасы, найдены обломки зубов быка (Воѕ sp.). И. Г. Пидопличко по ним датирует возраст суглинков серединой среднечетвертичного времени. Это дает возможность считать, что формирование ложа террасы и накопление нижней части аллювия происходило, по-видимому, в нижнечетвертичное время, а образование погребенной почвы и верхней части аллювия — в начале среднечетвертичного времени.

## Нижне-, средне- и верхнечетвертичные отложения

Нерасчлененный комплекс отложений перигляциальных зон, делювиальных образований склонов и аллювиально-делювиальных выполнений древних балок (рг. dJ I—III \*) развит почти повсеместно, плащеобразно перекрывая междуречья и их склоны и незаметно сливаясь с аллювиально-делювиальными выполнениями древних балок. Отсутствует он лишь на участках крутых склонов долин и оврагов, на пойме, I и II надпойменных террасах. Представлен весьма однообразной толщей суглинков мощностью до 24 м, не содержащих маркирующих горизонтов. Расчленение комплекса в отдельных разрезах произведено главным образом по генетическим признакам и по положению в рельефе, так как использовать для этой цели встречающиеся в нем горизонты ископаемых почв удается лишь изредка из-за трудности датировки последних. Поэтому на геолопической карте и разрезах породы перигляциальных зон и аллювиально-делювиальных образований объединены.

Отложения перигляциальных зон, называемые обычно «покровными», занимают возвышенные части всех междуречий. Спорадически встречающиеся в этой толще два горизонта ископаемых почв (часто невыдержанных и плохо увязывающихся между собой), признаки морозного

<sup>\*</sup> Для краткости в генетическую часть индекса включены только преобладающие в этом комплексе осадки перигляциальных зон и делювиальные образования склонов.

выветривания (?) и некоторые литологические особенности позволяют условно делить ее в отдельных разрезах на три горизонта: нижне-, средне- и верхнечетвертичный.

Нижний горизонт мощностью до 12 м (обычно 2-4 м) представлен глинами шоколадными, вязкими, тонко горизонтальнослоистыми и суглинками темно-коричневыми, реже с красноватым оттенком, плотными, тяжелыми, известковистыми, щебенчатой структуры, с прослоями супесей. В основании их прослеживается прослой известковистых стяжений («дутиков») диаметром до 30 см. В кровле суглинков часто наблюдаются вертикальные трещины (выполненные более светлыми суглинками, с ненарушенной структурой), возникновение которых связано, по-видимому, с морозным выветриванием (?). Венчается разрез прослоем погребенной почвы (полный разрез ее прослеживается редко, чаще всего сохраняется лишь горизонт вмывания --«белоглазка»). Возраст этих отложений нижнечетвертичный, формирование почвы происходило, видимо, в начале среднечетвертичного времени. Суглинки среднего горизонта мощностью 4-5 м плотные, известковистые, окрашены в более светлые коричневато-бурые тона, чем нижележащие, с марганцовистыми включениями, с прослоями супеси и песка, в нижней части с «дутиками» диаметром до 3 см. В кровле их наблюдаются вертикальные трещины (выполненные светло-палевыми суглинками), указывающие на перерыв в осадконакоплении в условиях морозного климата. Возраст их условно датируется как среднечетвертичный, а развитая на них погребенная почва, вероятно, соответствует концу среднечетвертичного и началу верхнечетвертичного времени,

Верхний горизонт мощностью 3—4 м, наиболее широко развитый на территории листа, представлен светло-коричневыми более легкими известковистыми суглинками, в основании с мелкими «дутиками», в единичных случаях палево-желтыми, пылеватыми, лёссовидными (до 4 м). Возраст их верхнечетвертичный. Не останавливаясь на анализе многочисленных точек эрения о происхождении отложений перигляциальных зон, отметим, что правильнее приписывать им комплексный генезис; наиболее значительную роль з их формировании играли, видимо, делювиальные пролювиальные, элювиальные и эоловые процессы.

Аллювиально-делювиальные образования пределах территории листа развиты широко. В составе их выделяются древнебалочные аллювиально-делювиальные образования, распространенные широко на западной половине листа, где развита более древняя овражнобалочная сеть, заложенная еще в дочетвертичное время, и делювиальные отложения на склонах. В наиболее крупных балках аллювиально-делювиальные отложения слагают террасовидные площадки, круто наклоненные к днищам, и легко картируются, но чаще они не образуют морфологически выраженной поверхности и практически не отделяются от покровных образований перигляциальных зон и делювиальных отложений на склонах. Древнебалочные отложения мощностью до 15 м представлены переслаиванием коричневато-бурого суглинка с супесью и желтовато-коричневым песком, с галькой и щебенкой мела, часто с прослоями, обогащенными гумусом. Последние, вероятно, образовались за счет переотложения смытых с водоразделов погребенных почв и не могут рассматриваться как стратиграфические горизонты. У д. Долгое (бассейн р. Оскола) среди суглинков встречен прослой (5 см) вулканического пепла. Формирование описываемых отложений началось, по-видимому, еще в нижнечетвертичное время, наиболее интенсивно оно происходило в среднечетвертичное время, соответствующее максимальному днепровскому оледенению, но какая-то часть этой толщи образовалась и в верхнечетвертичное время.

#### Средне- и верхнечетвертичные отложения

Аллювиальные отложения III надпойменной террасы (al (3t) II—III) имеют несколько ограниченное распространение по сравнению с IV террасой. Они протягиваются сплошной полосой вдоль левого бе-

рега и отдельными участками по правобережью всех вышеперечисленных рек, а также по рр. Хотомле и Гнилице. Аллювий террасы залегает всюду на размытой поверхности верхнемеловых отложений. Мощность аллювия изменяется от 10 до 20 м, местами сокращается до нуля. Представлен он песками серыми, белыми и буровато-желтыми, кварцевыми, мелко- и средне-зерымстыми, сыпучими, горизонтально- и косослоистыми, и глинами светлосерыми, песчаными, с неопределимыми обломками фауны пелеципод и брахиопод; в основании пески крупнозернистые, с галькой меловых пород. Перекрывается аллювий террасы верхнечетвертичным (рг III) комплексом перигляциальных отложений мощностью порядка 3—4 до 9 м, показанных на карте штриховкой. Формирование ложа и накопление аллювия террасы пропсходило в конце среднего и начале верхнечетвертичного времени (Назаренко, Карякин, Соболев, 1931).

#### Верхнечетвертичные отложения

Аллювиальные отложения II надпойменной террасы (al (2t) III), известной в литературе под названием «боровой», развиты почти повсеместно вдоль левого и частично правого берегов рр. Оскола, Козинки, Корочи и в устьевых частях рр. Нежеголи, Волчьей и Хотомли. Аллювий террасы залегает на размытой поверхности верхнемеловых отложений. Средняя мощность его 15—16 м, максимальная 25 м.

Аллювий представлен песками желтовато-серыми, кварцевыми, в основании разнозернистыми (преимущественно крупнозернистыми), с мела и щебенкой кремня, вверху мелко- и среднезернистыми, сыпучими, однородными, часто перевеваемыми с поверхности. Пески, как правило разделены прослоем (до 10 м) светло-серых вязких известковистых глин с многочисленной фауной моллюсков, являющихся, видимо, пойменной фацией. На отдельных участках долины рр. Корочи, Нежеголи, Волчьей и Оскола аллювий перекрывается палево-желтыми тонкими лёссовидными суглинками (1,5-2 м), образовавшимися, вероятно, за счет смыва суглинков с более высоких террас или водораздела. На смежных территориях в дюнных песках левобережной II надпойменной террасы р. Сев. Донца Л. И. Карякин обнаружил следы древних стоянок человека каменного века, а в песках II надпойменной террасы р. Оскола (в устье р. Козинки, у с. Шелаево) были обнаружены палеолитические стоянки (наконечники стрел, скребки). В пределах площади листа аналогичные находки были обнаружены ранее в песках левобережной террасы р. Оскола, в районе д. Принцевка. Формирование ложа и накопление аллювиальных отложений террасы происходило в верхнечетвертичное время.

Аллювиальные отложения I надпойменной террасы (al (It) III) имеют весьма ограниченное распространение и выделены в основном по морфологическим признакам в виде обрывков по рр. Короче, Нежеголи, Козинке и Осколу. На площади листа разрез аллювия в обнажениях не наблюдался и скважинами не вскрыт. На левобережной I надпойменной террасе р. Оскола, в районе Уразово (непосредственно восточнее территории листа) пройдена скважина; мощность аллювия здесь 16 м; залегает он на размытой поверхности верхнемеловых отложений. Представлен аллювий песками светло-серыми и буровато-серыми, кварцевыми, разнозернистыми, сыпучими.

Формирование ложа и накопление аллювия террасы соответствует концу верхнечетвертичного времени.

#### Современные отложения

Озерные отложения (J IV) часто встречаются на поверхности II надпойменной террасы, аккумулирующиеся и в настоящее время. Представлены они тонким горизонтальным переслаиванием песка серого кварцевого с глиной темно-серой до черной, тонкопесчаной с многочисленными растительными остатками. Мощность пород до 3 м.

Аллювиальные отложения (al IV) слагают современные пойменные террасы всех рек, ручьев и выстилают днища балок и оврагов. Мощность аллювия по крупным рекам в среднем 8—10 м, максимальная 14 м (скв. 20, д. Тополи). Современный речной аллювий представлен серыми кварцевыми разнозернистыми песками и глинами серыми, вязкими, иловатыми, с плохо разложившимися растительными остатками, с пресноводной фауной, в основании с линзами и прослоями гальки мела и опоки.

Балочный аллювий представлен в основном суглинками коричневато-бурыми с линзами песка буровато-серого, кварцевого, разнозернистого, с оби-

лием гальки и обломков мела, с прослоями перемытого гумуса.

Болотные отложения. На поймах рек наблюдается заболачивание, сопровождающееся образованием торфа и суглинисто-торфянистых отложений. Торф коричневато- и желтовато-бурый, полуразложившимися растительными остатками. Мощность его 0,5—1,0 до 1,75 м.

Делювиальные отложения. Склоны речных долин, балок и оврагов и склоны водоразделов перекрыты чехлом современного делювия, образовавшегося в результате переработки комплекса отложений перигляциальных зон, древнебалочных аллювиально-делювиальных образований и в меньшей степени — дочетвертичных пород. Мощность их незначительна и большей частью их трудно отличить от более древних аллювиально-делювиальных образований, поэтому на карте, разрезе и схеме они не показаны.

# ИНТРУЗИВНЫЕ ОБРАЗОВАНИЯ (уА, уРt, уРt,)

В настоящее время в пределах территории КМА выделяются разновозрастные комплексы кислых и основных интрузивных пород — архейский и протерозойский. На площади листа М-37-XIV, по данным В. Д. Полищука и др. (1962), развиты только кислые интрузивные породы. На крайнем западе его (см. рис. 1) предполагается архейский гранитоидный комплекс, судить о котором можно только по геофизическим данным. На смежной территории абсолютный возраст пород этого комплекса, определенный аргоновым методом (по данным А. П. Виноградова и А. И. Тугаринова, 1960), составляет 2050 млн. лет, что позволяет относить их к архею.

Наиболее широко распространен комплекс нижнепротерозойских плагиогранитов, развитый на юго-западе и северо-западе района и вскрытый в районе сс. Верхне-Березово и Булановка. Представлен он эпидото-биотитовыми плагиогранитами и сопровождающими их мигматитами. Плагиограниты серые, среднезернистые, массивной текстуры, состоящие из плагиоклаза (40%), кварца (20%), микроклина (20%), биотита (10%) и эпидота (10%). Структура их гипидиоморфнозернистая.

Абсолютный возраст пород, определенный на смежной территории аргоновым методом (по тем же данным), составляет 1950 млн. лет. На крайнем севере описываемой территории по геофизическим данным выделен не-

расчлененный протерозойский гранитоидный комплекс.

#### ТЕКТОНИКА

Строение территории определяется ее положением на северо-восточном борту Днепровско-Донецкой впадины и юго-западном склоне Воронежского кристаллического массива. Здесь отчетливо выделяются два структурных этажа. Нижний представлен сильно метаморфизованными и дислоцированными кристаллическими образованиями докембрийского возраста, верхний слагается комплексом неметаморфизованных осадочных пород палеозоя, мезозоя и кайнозоя, характеризующимся спокойным платформенным залеганием.

Строение кристаллического фундамента в настоящее время изучено еще слабо, так как породы докембрия залегают на значительной глубине и вскрыты скважинами только в северной части листа. В последние годы в результате обработки материалов проводившегося здесь структурно-картировочного и поисково-разведочного бурения строение докембрийских образо-

ваний района КМА рисуется большинством исследователей следующим об-

разом.

Породы архея образуют крупный антиклинорий северо-западного простирания. С северо-востока и юго-запада к антиклинорию примыкают синклинальные зоны, сложенные породами протерозойского возраста. Ширина зон 35—50 км, азимут простирания структур 330°. Эти зоны осложнены в свою очередь складками более высоких порядков, с которыми и связаны полосы железистых кварцитов. По данным В. Д. Полищука (1962), складки являются изоклинальными, опрокинутыми обычно на юго-запад с крутым падением крыльев (70-80°). Шарниры складок, как правило, ундулируют. Резкое воздымание шарниров сопряженных складок обуславливает образование широких полей железистых кварцитов типа Большетроицкого месторождения. Большинство полос железистых кварцитов и сопровождающих их аномалий в западной части листа M-37-XIV относятся к юго-западной оинклинальной зоне, а аномалии, расположенные в крайней восточной его части обусловлены, по-видимому, кварцитами северо-восточной синклинальной зоны (см. рис. 1). Часть территории, расположенная между ними, таким образом находится в области развития архейских образований антиклинория.

По данным геофизики и немногочисленным материалам глубокого бурения можно сказать, что поверхность докембрийского кристаллического фундамента в районе полого погружается на юго-запад в сторону Днепровско-Донецкой впадины. Величина погружения на разных участках не одинакова, в среднем она составляет 9 м на 1 км (от -150 м до -1000 м абс. выс.). Местами поверхность фундамента осложнена локальными поднятиями и погружениями. Поднятия, в частности, наблюдаются в районах развития полос железистых кварцитов, которые благодаря повышенной устойчивости к выветриванию образуют подземные гряды, возвышающиеся над основной поверхностью фундамента на 20-60 м. Резкие погружения в рельефе могут быть объяснены крупными разломами. Один из таких разломов проводится по геофизическим данным Н. Ф. Балуховским (1958) и В. Д. Полищуком (1962) через Купянск, Ново-Александровку, Анновку, Волчанск, Репное. На смежном с запада листе M-37-XIII этому разлому соответствует резкое погружение поверхности кристаллического фундамента и нарушенное залегание вышележащих осадочных образований. Разлом, по-видимому, круго падает на юго-запад, юго-западное крыло опущено по отношению к северовосточному на 70-100 м. Другой разлом, по данным В. Д. Полищука (1962), также северо-западного простирания и характеризуется крутым углом падения; он протягивается через населенные пункты Волчья Александровка — Артельное, уходя далее за северную рамку листа. В отличие от предыдущего здесь опущено северо-восточное крыло. Амплитуда смещения порядка  $80 \ M$  (см. разрез A-B).

На породах кристаллического фундамента трансгрессивно залегает осадочная толща, для которой характерно моноклинальное падение слоев на юго-запад, в сторону Днепровско-Донецкой впадины. Величина погружения от нижних стратиграфических горизонтов к верхним уменьшается за счет увеличения мощности всех толщ в юго-западном направлении, а также за счет появления в разрезе новых стратиграфических горизонтов. Так, например, погружение кровли каменноугольных отложений составляет в среднем 5 м на 1 км (от —50 м до —550 м абс. выс.), юрских —2,8 м на 1 км (от -25 до -300 м абс. выс. и меловых — около 1 м на 1 км (от 180 м до 80 м абс. выс.). Мощность каменноугольных отложений с северо-востока на юго-запад увеличивается от 125 до 500 м, юрских — от 50 до 300 м, меловых — от 200 до 400 м и т. д. Кроме того, в северо-восточном направлении наблюдается последовательное выпадение из разреза тарусского, стешевского и протвинского горизонтов нижнего карбона, башкирского и московского ярусов среднего карбона (см. рис. 2, разрез А-Б), оксфордского и кимериджского ярусов верхней юры.

Следует отметить, что турнейские отложения развиты только на северовостоке территории, где кристаллический фундамент наиболее приподнят, и отсутствуют в погруженной части района на юго-западе его. Это дает неко-

торое основание предположить, что юго-запад территории был вовлечен в прогибание Днепровско-Донецкой впадины только в послетурнейское время.

На схематической структурной карте по кампанскому ярусу верхнего мела (рис. 4) видно, что кампанские отложения имеют общий уклон на югозапад в сторону Днепровско-Донецкой впадины. Средняя величина погружения около 2,5 м на 1 км. На фоне этого погружения в кровле сантонских отложений наблюдаются еще два эрозионных понижения, вытянутых в югозападном направлении. Одно из них начинается южнее с. Волоконовка и протягивается на юго-запад. Амплитуда понижения достигает здесь 35 м. Другое понижение наблюдается в северо-западной части площади листа и имеет также юго-западное направление. Осевая часть его проходит западнее с. Большетроицкое. Глубина понижения около 30 м. В районе понижений мощность кампанских отложений возрастает и на более высокие горизонты они почти не влияют.

Схематическая структурная карта, построенная по фосфоритовому горизонту киевских слоев (рис. 5), также обнаруживает общее погружение пород к югу и юго-западу, однако величина его еще меньше — всего 0,7 м на 1 км. По маркирующему фосфоритовому горизонту в киевских слоях тоже наблюдается ряд местных понижений, одно из которых в общих чертах повторяет понижение в кровле сантонских отложений южнее с. Волоконовка, хотя глубина его значительно меньше. Эти понижения, так же как и вышеописанные, имеют, по-видимому, преимущественно эрозионную природу, о чем говорит долинообразный характер наиболее крупных из них.

#### ГЕОМОРФОЛОГИЯ

Территория листа расположена на юге Средне-Русской возвышенности, которая здесь представляет собой плато, глубоко расчлененное долинами рек, балок и оврагов. Основные черты рельефа унаследованы с неогенового времени. Главными рельефообразующими факторами являлись денудация и эрозионно-аккумулятивная деятельность рек и оврагов. Описываемая площадь представляет в целом неогеново-четвертичную эрозионно-денудационную пологоволнистую равнину, по степени эрозионной расчлененности подразделяющуюся на два типа рельефа: 1) сильно расчлененную равнину с интенсивным современным эрозионным врезом и 2) среднерасчлененную равнину с меньшим эрозионным врезом.

Сильнорасчлененная пологоволнистая неогеновочетвертичная эрозионно-денудационная равнина вита в восточной части района, имеющей слабый наклон с севера на юг с абсолютными высотами водоразделов 232—195 м. Последние характеризуются выпуклой, слегка волнистой формой, наличием большого количества плоских повышенных участков, являющихся, по-видимому, реликтами неогеновых денудационных поверхностей. Крайне характерно для нее широкое развитие овражно-балочной сети с многочисленными растущими оврагами и промоинами. Типичны также эрозионные плечи террас, крупные конусы выноса, донные врезы в балках, оползни размером 100—150 м и амплитудой смещения до 15 м. Вследствие смыкания вершин оврагов противоположных склонов ширина водоразделов не превышает обычно 2 км, а местами сокращается до 0,5 км. Наиболее широкий размах эрозионная деятельность приобретает в области развития песчаных полтавских отложений. Здесь растущие овраги быстро ветвятся, образуя веерообразные системы, поэтому к краевым частям неогеновых денудационных поверхностей часто приурочены циркообразные верховья древних балок диаметром до 1,5 км и глубиной до 30 м, наблюдающиеся только в области развития полтавских отложений. Речные долины характеризуются отсутствием плиоценовых (?) древнечетвертичных террас и наличием эрозионных и структурно-денудационных террас; последние выделены в основном по данным аэрофотоснимков, ширина площадок 25-30 и реже 300 м. Формируются они на контакте палеогеновых и меловых отложений в результате плоскостного смыва более рыхлых палеогеновых пород.

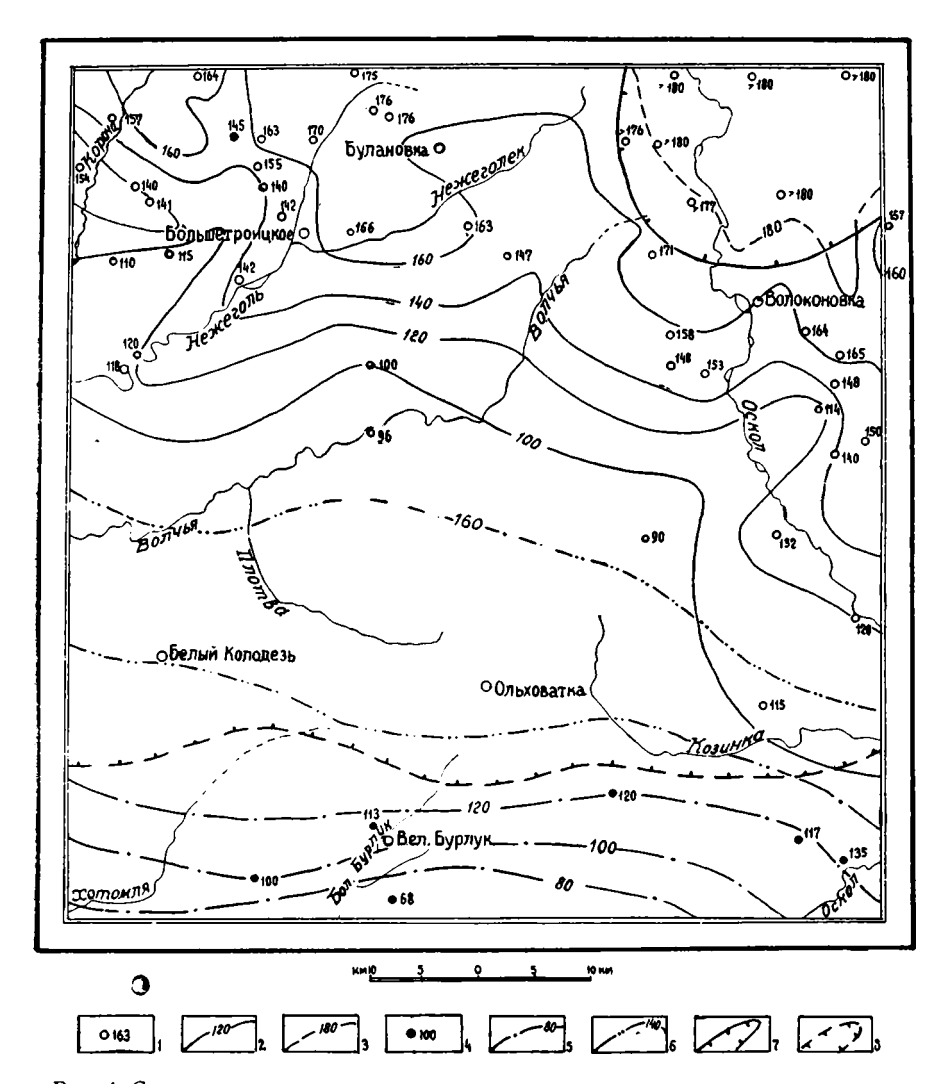


Рис. 4. Схематическая структурная карта по кампанскому ярусу верхнего мела I- абсолютная высота подошвы кампанских отложений по скважинам и обнажениям; 2- изогипсы подошвы кампанских отложений (через 20 м); 3- то же, восстановленые в области размыва кампанских отложений; 4- абсолютная высота кровли кампанских отложений (через 20 м); 6- то же, восстановленные в области размыва маастрихтских отложений; 7- область размыва кампанских отложений; 8- область размыва маастрихтских отложений; 8- область размыва маастрихтских отложений; 8- область размыва маастрихтских отложений.

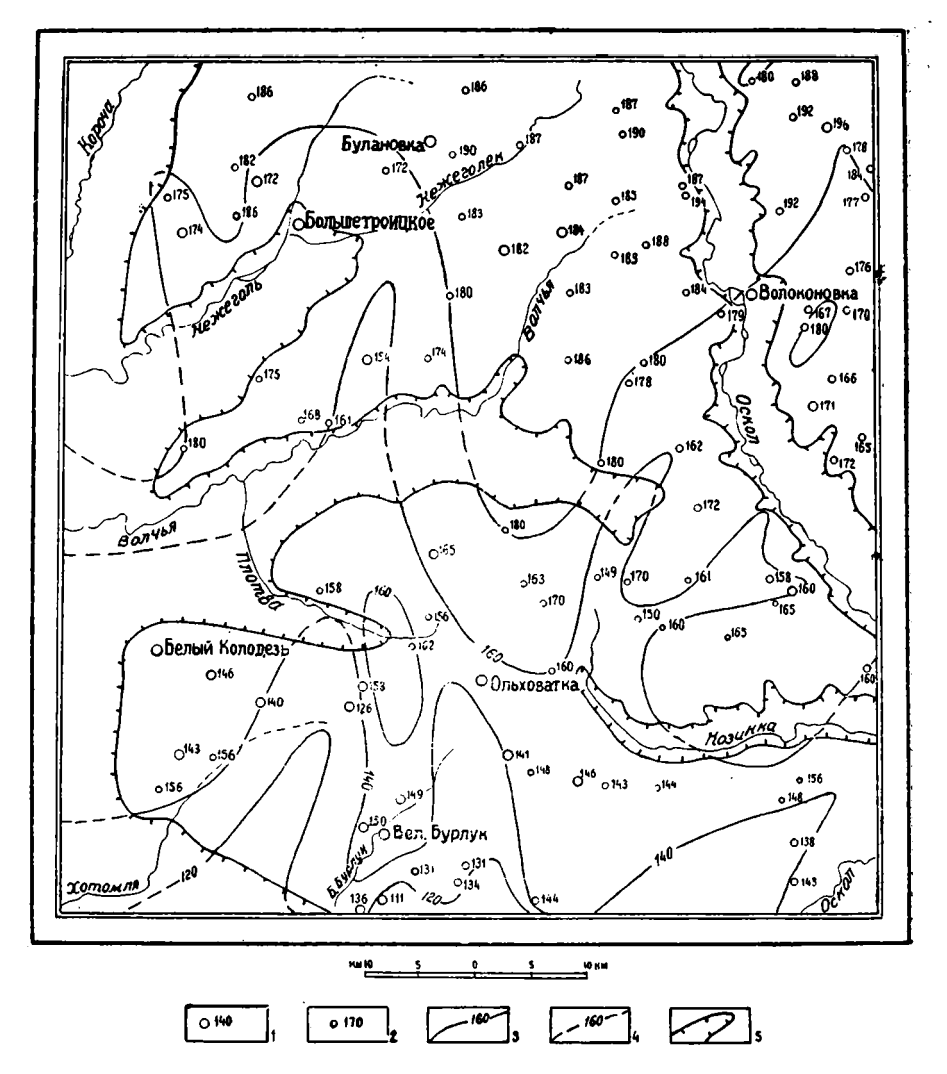


Рис. 5. Схематическая структурная карта по маркирующему фосфоритовому горизонту киевских слоев

I — абсолютная высота маркирующего горизонта по скважинам; 2 — то же, по обнажениям; 3 — изогипсы маркирующего горизонта (через 20 м); 4 — то же, восстановленные в области размыва маркирующего горизонта; 5 — область размыва маркирующего горизонта

Среднерасчлененная пологоволнистая неогеновочетвертичная эрозионно-денудационная равнина развита в западной и крайней северо-восточной частях территории листа, имеющей слабый наклон с севера на юг и юго-восток с абсолютными высотами водоразделов 236—195 м. Характеризуется она весьма пологими очертаниями с выпуклыми междуречьями шириной 1,5—2,0 и реже — 3,0 км. В отличие от вышеописанной данная равнина характеризуется преобладанием аккумулятивных форм рельефа над эрозионными, речные долины сопровождаются здесь полным комплексом плиоценовых (?) и четвертичных террас, которые часто заходят по балкам. Последние имеют корытообразную форму, плоское дно, ступенчатый продольный профиль и неглубокие донные врезы.

#### морфология речных долин

На площади развития обоих типов рельефа все реки имеют хорошо разработанные, широкие асимметричные долины с крутым, часто обрывистым; правым берегом и пологим, террасированным левым. В пределах сильнорасчлененной равнины долины относительно молодые: здесь отсутствуют плиоценовые и IV надпойменная террасы.

В области среднерасчлененной равнины речные долины древнее, в верховьях их развиты, как правило, более высокие террасы, молодые появляются ниже по течению. В этих долинах и закартированы три уровня плиоценовых (?) террас; местами, где эти террасы морфологически выражены не-

четко, они показаны объединенно.

Нерасчлененный комплекс плиоценовых (?) террас выделен участками по р. Волчьей, руч. Плотве, по левобережью р. Сев. Донца, по рр. Бол. Бурлуку, Гнилице, Хотомле и в верховье балки, открывающейся в долину р. Тихой Сосны (на северо-востоке территории листа). На левобережье руч. Плотвы высота уступа поверхности над урезом воды 65—70 м. Перегиб к водоразделу проходит на абсолютной высоте 210 м. Поверхность террасы шириной 4—6 км наклонена в сторону русла.

Нерасчлененные верхняя и средняя плиоценовые (?) террасы прослеживаются по р. Волчьей. Абсолютная высота бровки выделенной поверхности фиксируется на 187 м, перегиб к водоразделу— на 197 м. Поверхность ее шириной около 3 км слабо наклонена к русла.

Верхняя плиоценовая (?) терраса развита по левобережью рр. Волчьей и Корочи, возвышаясь на 90 м над урезом воды. Перегиб к водоразделу проходит на 200—215 м абсолютной высоты. Поверхность террасы шириной 3—4 км плоская, слабо наклонена к руслу и расчленена верховьями балок. Терраса всюду цокольная.

Средняя плиоценовая (?) терраса развита по левобережью рр. Корочи, Нежеголи и Волчьей; морфологически терраса четко выражена, высота ее над урезом воды 70—80 м, над нижней плиоценовой (?) террасой—15 м. Тыловой шов террасы прослеживается на абсолютной высоте 200—205 м. Поверхность ее, шириной 1,5—3 км, плоская, расчленена балками корытообразной формы. Терраса всюду цокольная.

Нижняя плиоценовая (?) терраса широко развита порр. Короче, Нежеголи и Волчьей; морфологически она четко выражена, высота ее над урезом воды 55—65 м, над IV надпойменной террасой — 7—12 м. Тыловой шов террасы прослеживается на абсолютной высоте 185 м. Поверхность ее шириной 1,5—2 до 6,5 км пологоволнистая. Терраса всюду цокольная.

Четвертая надпойменная терраса непрерывной полосой тянется по левобережью почти всех крупных рек, отдельные останцы ее фиксируются и по правому берегу, местами она прослеживается и по балкам. Морфологически терраса четко выражена. Средняя высота ее 30—35 м, высота уступа над III террасой 8—13. Тыловой шов террасы проходит на абсолютной высоте 153—165 м. Поверхность ее плоская, слабо наклонена к руслу. Терраса всюду цокольная.

Третья надпойменная терраса сплошной полосой тянется вдоль левого берега почти всех крупных рек и участками по правобережью.

3\*

Морфологически терраса выражена четко. Высота уступа над II террасой 5—6 м, над поймой — 8—10 м. У тылового шва, проходящего на абсолютной высоте 136—140 м, высота террасы 25 м. Поверхность ее почти горизонтальная, с остатками стариц, чаще всего округлой формы. Терраса цокольная, в верховьях обычно аккумулятивная.

Эрозионная третья надпойменная терраса выделена по левобережью рр. Оскола, Козинки и в долинах рр. Верхне- и Нижне-Двуречной. Наиболее четко она выражена по р. Козинке, где высота поверхности ее над урезом воды 15 м; абсолютная высота тылового шва изменяется от 115 до 130 м. Поверхность террасы развитой в меловых отложениях, заметно наклонена к руслу. Образование ее связано с процессами глубинной эрозии.

Вторая надпойменная терраса широко развита по рр. Осколу, Козинке и в нижнем течении рр. Корочи, Нежеголи и Волчьей. Морфологически терраса четко выражена. Средняя высота ее 10-12~m, высота уступа над урезом рек 5-10~m, над поймой — 3-4~m. Тыловой шов проходит на абсолютной высоте 118-120~m, понижаясь по течению до 100~m (р. Оскол). Поверхность террасы шириной до 3~m неровная, с остатками стариц округлой формы, часто осложнена дюнными всхолмлениями высотой 4-5~m0 10~m0, поросшая участками сосновым лесом. Терраса всюду аккумулятивная.

Первая надпойменная терраса небольшими участками прослеживается по рр. Козинке, Короче, Нежеголи и Осколу. Не исключена возможность, что местами она закартирована совместно со 11 террасой, либо с высокой поймой. Средняя высота террасы 5—8 м, высота уступа над урезом рек 3—5 м. Тыловой шов ее проходит на абсолютной высоте от 120 до 100 м. Поверхность ее местами плоская, с остатками стариц. Терраса всюду аккумулятивная.

Пойменная терраса протягивается по всем рекам и балкам. По pp. Осколу, Короче, Нежеголи и Волчьей развиты два уровня пойм. Высота низкого уровня не превышает 0,8 м, высокого — 2—3 м. Поверхность поймы ровная, почти горизонтальная, с многочисленными старицами, местами заболоченная, кочкарная.

#### ИСТОРИЯ ФОРМИРОВАНИЯ РЕЛЬЕФА

Рельеф рассматриваемого района начал формироваться, по-видимому, еще в миоцене, сразу же после отложения полтавских осадков, образовавших первичную плоскую озерно-аллювиальную равнину. Процессы денудации и аккумуляции, происходившие позднее, не смогли существенно изменить ее рельеф. В результате процессов денудации равнина только сильно расчленилась, и в настоящее время сохранились лишь останцы ее в виде денудационных поверхностей. Неоднократные поднятия территории в плиоценовое время привели к врезанию речных долин и формированию на западной половине территории плиоценовых (?) террас на рр. Сев. Донце, Короче, Нежеголи, Волчьей и др. Восточная часть территории листа в это время представляла собой водораздел между вышеназванными реками и древней р. Осколом, которая, по данным соседних районов (лист М-37-IX) ниже г. Старый Оскол текла в направлении современного течения р. Потудани и имела сток непосредственно в р. Дон. В четвертичное время рассматриваемая территория не была захвачена оледенениями, и влияние их на формирование рельефа сказалось лишь косвенно — в неоднократной смене эрозионно-аккумулятивных циклов, приведших к образованию четырех надпойменных террас. Некоторое обновление рельефа в конце среднечетвертичного времени, по-видимому, связано с прорывом р. Оскола (лист М-37-IX). После образования нового русла р. Оскола создались условия для значительного оживления процессов эрозионного расчленения, с преобладанием сноса над аккумуляцией.

#### ПОЛЕЗНЫЕ ИСКОПАЕМЫЕ

В зависимости от приуроченности к тем или иным отложениям месторождения и проявления полезных ископаемых нанесены соответственно на карту дочетвертичных (с 1 по 29) и четвертичных отложений (с 30 по 57).

#### ТОРФ

На территории листа имеется ряд мелких разведанных месторождений торфа низинного типа, связанных с поймами рр. Нежеголи, Волчьей, Корочи и Козинки (30, 33, 34, 35, 36, 38, 39, 40, 44, 45, 46, 52, 56, 57]. В настоящее время разрабатываются только пять [34, 35, 45, 52, 57]. По запасам разведанные залежи невелики, самая большая из них — Волчьевское II (Плетенка) содержит 615 тыс.  $M^3$  [52]. Запасы торфа-сырца всех месторождений составляют 2747 тыс.  $M^3$ . Торф высокозольный (до 30%), мощность его 0,5—1.0 до 1.75 M.

#### железные руды

Наиболее важным полезным ископаемым района являются железные

руды, имеющие промышленное значение.

Комплексными геофизическими исследованиями в 1956—1958 гг. (Я. П. Ковтун, В. И. Павловский, И. А. Жаворонкин и др.) в северо-западной части площади листа выявлена крупная Большетронцкая аномалия, являющаяся продолжением Корочанской и полосы железистых кварцитов, прослеживающихся непосредственно севернее рассматриваемого района; в пределы площади листа, на крайнем северо-западе ее своей незначительной восточной частью заходит Шебекинская полоса железистых кварцитов. Кроме Большетронцкой и Шебекинской аномалий на описываемой территории, в восточной и юго-западной частях ее магнитометрическими работами выявлен ряд аномалий (см. рис. 1). В последующем буровыми работами на Шебекинской и Большетроицкой аномалиях были вскрыты богатые железные руды, являющиеся корой выветривания железистых кварцитов протерозойского возваста.

Большетронцкое месторождение [3]. В пределах площади листа на Большетронцкой аномалии Белгородской железорудной экспедицией ГУЦР с 1960 г. до настоящего времени проводятся поисково-разведочные работы, в результате которых выявлено крупное железорудное месторождение. Железные руды месторождения приурочены к коре выветривания пород средней железорудной толщи курской метаморфической серии, сла-

гающей здесь ядра синклинальных зон.

Формирование богатых железных руд связано с процессами выщелачивания кварца, мартитизации магнетита, окисления и гидратизации закисных соединений железа. На месторождении преобладают гематитовые руды. Богатые руды залегают на «головах» железистых кварцитов на глубине в среднем 470 м. В кровле их залегают нижнекаменноугольные отложения. В пониженных частях поверхности богатых железных руд и местами в основании толщи нижнекаменноугольных отложений залегают переотложенные брекчиевидные железные руды, условно относимые к визейскому ярусу нижнего карбона. Размер рудных обломков от 0,5 до 3—4 см. Мощность переотложенных руд до 10 м. По данным И. С. Русиновича и др., Большетроицкое месторождение площадью около 29 км² имеет протяженность около 11 км и ширину свыше 2 км. Мощность рудной залежи в среднем 78 м, местами она превышает 340 м.

Наибольшее распространение среди руд Большетроицкого месторождения имеют железнослюдково-мартитовые и мартито-железнослюдковые руды, обладающие характерным синеватым цветом и гидрогематито-мартитовые й мартито-гидрогематитовые красновато-бурые и буровато-фиолетовые. Сред-

нее содержание железа в рудах 61,5%, SiO<sub>2</sub> 3,2% и S 0,16%.

Гидрогеологические и инженерно-геологические условия месторождения, по предварительным данным, неблагоприятны вследствие глубокого залегания руд, наличия семи водоносных горизонтов в осадочной толще, перекрывающей рудную залежь, сильной обводненности самой залежи, (дебит до 1,5 *л/сек*), весьма значительного напора водоносных горизонтов, достигающих 388 м и наличия на месторождении рыхлых разностей руд.

Однако при современных способах осущения разработка месторождения возможна, и оно может служить базой для строительства крупного самостоятельного горнорудного предприятия. Запасы богатых железных руд в пределах площади, охваченной бурением, оцениваются в 3,0 млрд. т; из

них по категории  $C_2$  в количестве 1,5 млрд.  $\tau$ .

#### цирконий содержащие породы

На территории листа в результате шлихового опробования песков харьковских и полтавских слоев, шапкинской толщи и аллювиальных песков плиоценового (?) и четвертичного возраста (Розановская и др., 1960) среди тяжелых минералов 48 анализировавшихся проб везде присутствуют ильменит, рутил, лейкоксен и циркон. Две пробы дали промышленное содержание циркона (14, 17).

У с. Ольховатка (17) в песках полтавских слоев и шапкинской толщи содержание циркона составляет 3,98  $\kappa \epsilon/m^3$ , у разъезда Бакшеевка (14) в песках полтавских слоев — 3,02  $\kappa \epsilon/m^3$ ; комплексное содержание минералов титана (в пересчете на условный ильменит) здесь близко к промышленному и составляет соответственно 47,66  $\kappa \epsilon/m^3$  и 21,02  $\kappa \epsilon/m^3$ . В них содержится также монацит в количествах соответственно 0,14 и 0,25  $\kappa \epsilon/m^3$ , допускающих его попутное извлечение. Повышенное содержание циркона от 0,67 до 1,18  $\kappa \epsilon/m^3$  в песках полтавских слоев и шапкинской толщи отмечено еще в пяти пунктах в бассейне р. Оскола (в районе с. Афоньевка и дд. Александровка, Репный, Тулянка и Строевка).

Для решения вопроса о наличии промышленных россыпей минералов ти-

тана и циркона необходимо более детальное опробование.

Учитывая незначительную вскрышу (10—15 м), благоприятные гидрогеологические условия, хорошие подъездные пути и возможность разработки открытым способом все вышеперечисленные пункты могут быть рекомендованы для постановки поисково-разведочных работ.

#### **КАРБОНАТНЫЕ ПОРОДЫ**

В качестве карбонатного сырья используются широко распространенные на территории листа мел и мелоподобные мергели сантонского, кампанского и маастрихтского ярусов верхнего мела. Мел и мелоподобные мергели белые, однородные, местами толстоплитчатые, чаще рыхлые. Видимая мощность их достигает 30—40 м.

Химический состав сырья отличается выдержанностью по площади и на глубину: содержание  $CaCO_3$  изменяется от 83,03 до 97,11%,  $MgCO_3=0,19-1,57\%$ ,  $SiO_2=2,34-5,36\%$ ,  $Al_2O_3+Fe_2O_3=0,2-5,58\%$ ,  $SO_3=0,36-0,48\%$ , п. п. п. — 40,4—42,50%, нерастворимый остаток от 2,5 до 10,8%. В районе разведано четыре месторождения: Волоконовское, Ольховатское, Валуйское и Никольское [7, 20, 21 и 29].

В кровле мергельно-меловой толщи залегают песчано-глинистые палеогеновые, неогеновые и четвертичные отложения. Мощность вскрыши изме-

нятся от 0,4 до 11 м, мощность полезной толщи обычно 20-25 м.

Мел всех месторождений пригоден для выработки кальциевой воздушной извести класса A и B, а Волоконовского — еще в качестве молотого и комового мела марки «В». Мел Валуйского месторождения может быть использован также при производстве известково-песчаных виброблоков для одноэтажного строительства. Из всех месторождений эксплуатируются только два [7 и 21]. Общие запасы мела по категории  $A_2 + B + C_1$  5057 тыс.  $\tau$ , из них 318 тыс.  $\tau$  молотого и комового.

Во многих населенных пунктах мел как побелочный материал разрабатывается кустарными карьерами [1, 8]. Мощность вскрыши обычно не превышает 2—5 м. Видимая мощность полезной толщи 8—11 м.

Помимо указанных выше месторождений мела на карте выделены площади, перспективные для постановки поисковых работ в бассейне р. Оскола (к северу и к югу от с. Волоконовка; в районе с. Ютановка, д. Столбище; в районе дд. Тополн и Ниж. Мельницы) и по правобережью р. Козинки (в районе дд. Ново-Петрово, Карабаново и дд. Борки, Сухарево). Мощность вскрыши не превышает здесь 5—6 м, мощность необводненной мергельно-меловой толщи от 10 до 60 м.

#### ГЛИНЫ КИРПИЧНЫЕ

В качестве сырья для производства кирпича широко используются четвертичные покровные и делювиальные суглинки и глины киевских слоев палеогена.

Разведано семь месторождений кирпичных глин. На трех из них — Приколотнянском [16], Ольховатском [19] и Велико-Бурлукском [27] — полезной толщей являются главным образом киевские глины, покровные суглинки используются попутно. На остальных месторождениях — Большетронцком [32], Волоконовское 2 и 3 [47] Волоконовском и Волоконовском I [48] и Старосельцевском [49] — полезной толщей являются покровные и делювиальные суглинки, имеющие почти повсеместное развитие и залегающие непосредственно под маломощным почвенно-растительным слоем. Условия эксплуатации этих месторождений благоприятные — они не обводнены, могут разрабатываться открытым способом; средняя мощность вскрыши не превышает 0.2—0.8 м. Мошность полезной толщи от 5 до 12 м.

Суглинки представляют собой тонкодисперсную опесчаненную породу, сложенную на 40—75% пылеватой фракцией, по пластичности они относятся к I и II классам. Содержание  $SiO_2$  изменяется от 52,66 до 70%, CaO—2,85—9,22%,  $AI_2O_3$ —6,59—9,33%,  $Fe_2O_3$ —2,29—3,49%, п. п. п.  $\ldots$  5,8—14,1%. Для отдельных разновидностей суглинков необходимы отощающие добавки.

Суглинки Большетронцкого [32] месторождения пригодны для производства кирпича марки «125» и «150» методом пластического формования, Волоконовского 2 и 3 [47] — для изготовления кирпича марки «100» и «150» при условии добавки отощителей, Волоконовского [48] — для изготовления пустотелого кирпича.

Общие запасы разведанных месторождений суглинков составляют 6501 тыс.  $m^3$ .

Более качественным сырьем для кирпичного производства служат глины киевских слоев, широко развитые на площади листа. Мощность вскрыши на всех месторождениях [16, 19, 27] не превышает 13 м, полезная толща составляет от 15 до 25 м. Химический состав глин: SiO<sub>2</sub> 57,37—78,86%, Al<sub>2</sub>O<sub>3</sub> 7,2—16,21%, Fe<sub>2</sub>O<sub>3</sub> 2,6—5,45%, CaO 0,9—8,3%, MgO 0,2—1,45%, п. п. п. — 4,2—5,42%. По пластичности глины относятся к I классу.

К глинам обычно добавляются пески харьковского возраста и четвертичные суглинки. Такое сырье пригодно для производства кирпича марки «75» и «100». Общие запасы глин, суглинков и песков составляют 4889 тыс. м³.

На территории листа имеется ряд неразведанных месторождений, разрабатываемых кустарным способом [5, 28, 31, 41, 42, 51, 55]. Сырьем для изготовления кирпича являются главным образом четвертичные суглинки.

#### пески строительные

По левобережью р. Оскола разведаны два месторождения строительных песков — Пятницкое [50] и Принцевское [53]. Полезной толщи являются пески II надпойменной террасы.

Пески кварцевые средне- и мелкозернистые. Мощность их от 5 до 12,8 м, средняя 7 м. Вскрыша 0,3—0,6 м. Химический состав песков: SiO<sub>2</sub> 95,15—

98,20%, Al<sub>2</sub>O<sub>3</sub> 0,74—1,5%, Fe<sub>2</sub>O<sub>3</sub> 0,4—0,64%, CaO 0,12—0,5%, п. п. п. 0,11—

Горно-технические и гидрогеологические условия благоприятны. Пески пригодны для кладочных и штукатурных растворов марки «100» и как заполнитель в бетон марок «150» и «200» с перерасходом цемента на 10—20%. Использовать их для отощения суглинков при производстве кирпича возможно только при условии добавки шамота зернистостью 0,5—2,0 мм в количестве 16%.

Запасы Пятницкого месторождения по категории  $A_2 + B - 441$  тыс.  $M^3$ ,

ориентировочные запасы Принцевского — 1350 тыс. м<sup>3</sup>.

В пределах площади листа в ряде пунктов местными предприятиями для строительства разрабатываются пески древнеаллювиальных четвертичных и плиоценовых (?) террас, пески полтавского и реже харьковского и киевского возраста. Качество песков не изучалось, однако факт использования подтверждает пригодность их для строительных целей.

Пески обычно мелко- и среднезернистые. Мощность их от 3 до 10 м, изредка увеличивается до 20 м. Соотношение мощностей вскрыши и полезной толщи изменяется от 1:3 до 1:16. Для постановки поисково-разведочных

работ можно рекомендовать участки 13, 15, 23, 26, 43 и т. д.

#### ПЕСКИ ДЛЯ ПРОИЗВОДСТВА ИЗВЕСТКОВО-ПЕСЧАНЫХ БЛОКОВ

Разведано три месторождения: в бассейне р. Нежеголи — Большетроицкое [4] и по левобережью р. Оскола — Волоконовское [37] и 1-е Валуй-

ское [54].

На Большетроицком месторождении сырьем служат пески киевского возраста, на двух других — аллювиальные пески II надпойменной террасы. Мощность песков всех месторождений изменяется от 2 до 6 м, составляя в среднем 5 м. По гранулометрическому составу аллювиальные пески среднезернистые и гравелистые с содержанием глинистых фракций 1—6,79%, пылеватых 1,21—15,47% и песчаных 80—95%. Киевские пески по гранулометрическому составу мелкозернистые с содержанием глинистых фракций 2,73—9,06%, пылеватых 0,94—15,47% и песчаных 80—95%. Химический состав песков: SiO<sub>2</sub> 90,02—96,18%, Al<sub>2</sub>O<sub>3</sub> 0,75—4,7%, Fe<sub>2</sub>O<sub>3</sub> 0,6—2,25%, CaO 0,5—1,6%, MgO 0,25—0,47%, SO<sub>3</sub> 0,17—0,61% и п. п. п. 0,16—1,06%.

Соотношение объема вскрыши к объему полезной толщи изменяется от 1:3 до 1:36. Гидрогеологические и горно-технические условия благоприятны.

В настоящее время ни одно из месторождений не эксплуатируется.

Запасы Большетроицкого месторождения составляют по категории  $A+B+C_1$  548 тыс.  $\mathcal{M}^3$ , 1 Валуйского — по категории  $B+C_1$  — 206 тыс.  $\mathcal{M}^3$  и Волоконовского — по категории  $A+B+C_1$  — 276 тыс.  $\mathcal{M}^3$ , однако в связи с невысокой прочностью лабораторных образцов ТКЗ от утверждения запасов Волоконовского месторождения воздержалась до проверки пригодности песков в полузаводских условиях.

#### ПЕСЧАНИКИ

Разведанных месторождений песчаников на площади листа нет. Проводившимися в 1956 и 1958 гг. поисково-рекогносцировочными работами (11, 20) в Ново-Оскольском, Волоконовском, Велико-Михайловском и Большетроицком районах установлено, что песчаники каневских и киевских слоев не выдержаны по простиранию и мощности, обладают низкой прочностью, не морозостойкие, разрушаются от насыщения водой и для строительного бутового камня и щебня для бетона не пригодны. Однако, учитывая, что территория листа крайне бедна каменным строительным материалом, а эти песчаники местами разрабатываются колхозами, наиболее крупные карьеры песчаников показаны на карте [2, 12]. Песчаники тонко- и мелкозернистые, участками плотные, окремнелые до сливных. Мощность их 1—2,5 м. Мощность вскрыши от 2 до 10 м, к водоразделу она резко возрастает.

Велико-Бурлукское месторождение [25] расположено в 4 км к северо-востоку от села одноименного названия. Полезным ископаемым является диатомит верхней части глинистой пачки киевского возраста; мощность его от 0,5 до 14,5 м, в среднем 7,28 м. Соотношение мощности вскрыши к полезной толще 0,85:1.

Диатомит сложен в основном кремневыми органическими остатками, среди которых преобладают диатомовые водоросли. Химический состав его характеризуется содержанием SiO<sub>2</sub> от 67,60 до 80,08%, Al<sub>2</sub>O<sub>3</sub> — от 8,47 до 12,15%, Fe<sub>2</sub>O<sub>3</sub> — от 3,40 до 5,40%, CaO — от 0,35 до 6,85% и MgO — от 0,78 до 1,82%. Средневзвешенная активность изменяется от 157,3 до 259,6 мг, преобладает активность 170—180 мг. Физико-механические испытания смеси диатомита и портланд-цемента в количестве 10—15% показали возможность получения цемента марок «400» и «300» без существенного снижения активности цемента. Гидрогеологические и горно-технические условия благоприятны. Общие запасы месторождения категории A<sub>2</sub>+B+C<sub>1</sub> составляют 11,8 млн.  $\tau$ , из них балансовые — 7,4 млн.  $\tau$ , забалансовые — 4,4 млн.  $\tau$ .

Опробование суглинков и диатомита (две пробы из суглинков и одна из диатомита) показало, что из них может быть получен керамзит, отвечающий техническим условиям. Для получения более достоверных данных о пригодности сырья необходимы полузаводские испытания.

### ПЕРСПЕКТИВЫ ТЕРРИТОРИИ И НАПРАВЛЕНИЕ ДАЛЬНЕЙШИХ РАБОТ

По геофизическим данным на территории листа кроме уже известного Большетроицкого месторождения имеется ряд магнитных аномалий (см. рис. 1) также, по-видимому, связанных с полосами железистых кварцитов. Наиболее перспективной для дальнейших поисково-разведочных работ на богатые железные руды является северная часть территории листа, где докембрийские образования залегают на относительно небольших глубинах. Запасы мела и мелоподобных мергелей сантонского, кампанского и

Запасы мела и мелоподобных мергелей сантонского, кампанского и маастрихтского ярусов верхнего мела практически неисчерпаемы. Они могут быть значительно увеличены как разведкой площадей, прилегающих к известным месторождениям, так и путем выявления новых месторождений. Наиболее перспективные площади для поисков расположены по правобережью рр. Оскола, Козинки, Нежеголи, Волчьей, где вскрыша местами совсем отсутствует.

Перспективны для обнаружения россыпей циркона и минералов титана пески полтавских слоев и шапкинской толщи палеогенового и неогенового возраста, широко развитые на территории листа. Поиски новых месторождений глин киевских слоев и покровных суглинков, пригодных для кирпичного производства, можно рекомендовать почти повсеместно.

Для поисков песчаных строительных материалов перспективны левобережья рр. Оскола, Корочи, Нежеголи, Волчьей, главным образом в области развития П ∕надпойменной террасы, где всегда могут быть найдены участки песков, лишенные вскрыши и удобные для разработки. Распространение торфа на площади листа не ограничивается указанными выше месторождениями, торф может быть обнаружен и на других участках пойменных террас.

#### подземные воды

В соответствии с литолого-стратиграфическим разрезом и гидрогеологическими особенностями в пределах площади листа выделяются десять водоносных горизонтов (четвертичный, неогеновый, полтавско-харьковский, киевский, маастрихт-сантонский, коньяк-туронский, сеноман-альбский, келловей-батский, нижнекаменноугольный и протерозойско-архейский), изученных очень неравномерно.

Наиболее полно изучены воды самых верхних горизонтов (до маастрихтсантонского включительно); нижние горизонты (от коньяк-туронского и ниже) вскрыты лишь единичными скважинами, пробуренными Белгородской железорудной экспедицией ГУЦР, и сведения о них приводятся весьма отрывочные.

Водоносные горизонты четвертичных отложений заключены в песчаных разностях аллювия поймы, четырех надпойменных террас и реже — перигляциальных отложений. Характеризуются они неглубоким залеганием, свободным зеркалом; не имеют выдержанного водоупора и водоупорного перекрытия (вследствие чего легко подвергаются поверхностному загрязнению).

Питание вод осуществляется путем инфильтрации атмосферных осадков и подтока вод из дочетвертичных отложений в местах прислонения аллювия. Режим вод, заключенных в отложениях поймы, I и II надпойменных террас, тесно связан с режимом питающих его рек. Дебит всех родников колеблется от 0,1 до 0,4 а/сек.

По химическому составу воды гидрокарбонатно-кальциевого и гидрокарбонатно-сульфатно-кальциевого типа с общей минерализацией 0.3-0.5 г/л и жесткостью 3.5-4.2 мг $\cdot$ экв.

Для централизованного водоснабжения воды непригодны из-за возможности загрязнения их, незначительного распространения и малой водообильности. Сельским населением они используются колодцами и каптированными родниками для хозяйственных и питьевых целей.

Неогеновый водоносный горизонт заключен в песчаных аллювиальных разностях плиоценовых (?) террас, распространенных главным образом в западной половине площади листа. Дебит родников не превышает обычно 0,2 л/сек, изредка достигает 3—5 л/сек (хут. Барсуков 1-й и 2-й). По данным одного анализа, химический состав, общая минерализация и жесткость вод плиоценового (?) аллювия близки к таковым вод четвертичных надпойменных террас. В большинстве случаев описываемый горизонт гидравлически связан с нижележащим меловым, реже — харьковским (на юге площади листа).

Небольшие водные ресурсы неогенового горизонта, легкая загрязняемость в связи с отсутствием водоупорного перекрытия не дают возможности считать его пригодным для крупного водоснабжения.

Полтавско-харьковский водоносный горизонт заключен в полтавских и харьковских песках общей мощностью 10—12 и реже 20 м. Благодаря высокому гипсометрическому положению он интенсивно дренируется долинами рек, балками и оврагами. Водоупором повсеместно служат киевские глины, водоупорное перекрытие отсутствует. Питание горизонта происходит за счет атмосферных осадков и частично путем инфильтрации вод из вышележащих горизонтов. Дебит родников не превышает 0,1—0,2 л/сек, изредка достигает 1—1,6 л/сек. Химический состав вод (по данным одного анализа) гидрокарбонатно-натриево-кальциевый с общей минерализацией 0,62 г/л и жесткостью 6,2 мг-экв.

Для значительного количества сельских населенных пунктов, расположенных на водораздельных участках территории, этот горизонт является основным источником водоснабжения.

Естественные выходы вод полтавско-харьковского горизонта вызывают заболачивание склонов балок и оврагов и развитие многочисленных оползней (по киевским глинам).

Киевский водоносный горизонт заключен в песках, песчаниках и реже опоках общей мощностью до 15 м. Высокое гипсометрическое положение водовмещающих пород определяет условия интенсивного дренажа киевского водоносного горизонта речной и овражно-балочной сетью. Выдержанным водоупорным перекрытием служат киевские глины, нижним водоупором — монолитные разности мела или мергеля, при отсутствии которых воды киевского горизонта часто сливаются с водами меловых отложений.

Питание горизонта происходит путем инфильтрации атмосферных осадков и подтока из нижележащего водоносного горизонта. Дебит родников

не превышает  $0.1-0.2 \ n/ce\kappa$ .

Воды по шести анализам гидрокарбонатно-магниево-кальциевого и гидрокарбонатно-натриево-кальциевого типа с общей минерализацией от 0,38 до 0,59 г/л и жесткостью 4,2—9,2 мг-экв. На участках выхода водовмещающих пород на поверхность киевские воды иногда несут следы поверхностного загрязнения. В этих случаях отмечается повышенное содержание азотистых соединений, достигающее в единичных случаях 61,6 мг/л (хут. Богатый).

Для водоснабжения района киевский горизонт практического значения

почти не имеет и используется сельским населением колодцами.

Маастрихт-сантонский водоносный горизонт распространен повсеместно и заключен в верхней трещиноватой зоне мергельно-меловой толщи маастрихта, кампана и частично сантона мощностью в среднем 30—50 м. От нижележащего коньяк-туронского водоносного горизонта он изолирован толщей плотных безводных мергелей сантона. Водоупорное перекрытие в большинстве случаев отсутствует.

Воды описываемого горизонта пополняются за счет инфильтрации ат-

мосферных осадков и перелива вод из вышележащих горизонтов.

Дренируется горизонт многочисленными родниками, питающими открытые водотоки. Дебиты родников изменяются от 0,1 до 4—6 л/сек. Дебиты скважин из маастрихт-сантонского горизонта изменяются от 1,5—2,5 л/сек до 4—5 л/сек.

На северо-востоке площади листа горизонт безнапорный, в юго-западном направлении за счет значительного погружения водовмещающих слоев

становится напорным.

Химический состав (по 15 анализам) вод гидрокарбонатно-кальциевый, гидрокарбонатно-сульфатно-кальциевый и сульфатно-гидрокарбонатно-натриево-кальциевый с общей минерализацией  $0.51-0.55\ \ensuremath{\emph{e}}\xspace/s$ , и жесткостью  $5.2-10.9\ \mbox{\it Mz}\cdot\mbox{\it 9}\xspace/s$ .

Описываемый горизонт является основном источником водоснабжения района. Водообильность его всецело зависит от трещиноватости пород, поэтому при заложении буровых на воду скважин необходимо учитывать, что на водораздельных участках, где трещиноватость мергельно-меловых пород заметно уменьшается, описываемый горизонт может оказаться местами ма-

ло водообильным или даже практически безводным.

Коньяк-туронский водоносный горизонт заключен воднообразной толще мела мощностью 70—80 м, имеющей повсеместное распространение. Водоупорным перекрытием являются плотные мергели сантона, нижний водоупор, как правило, отсутствует, поэтому воды описываемого горизонта сливаются. В 7 км северо-восточнее с. Большетроицкое кровля водоносного горизонта вскрыта скважиной на глубине 170,4 м (39 м абс. выс.); статический уровень воды установился на 139 м абс. высоты. Величина напора составляет 100 м. Дебит по данным откачек изменялся от 0,075 до 0,095 л/сек при соответствующих понижениях 60,15 и 80,34 м. Качественная характеристика вод коньяк-туронского горизонта отсутствует.

Этот горизонт как источник водоснабжения самостоятельного значения иметь не может из-за малой водообильности и значительных глубин зале-

гания.

Сеноман-альбский водоносный горизонт заключен в песках мощностью до 30 м, развитых на площади листа повсеместно. В связи с отсутствием водоупорного перекрытия горизонт гидравлически связан с вышележащим коньяк-туронским. В 7 км северо-восточнее с. Большетроицкое кровля описываемого горизонта вскрыта скважиной на глубине 245 м (—36,1 м абс. выс.), абсолютная высота статического уровня здесь 133 м. Величина напора 172 м. Дебит по данным откачек изменялся от 1,15 до 2,29 л/сек при соответствующих понижениях 1,2 и 2,4 м. По химическому составу (данные двух анализов) воды сульфатно-гидрокарбонатно-магниево-кальциевые и гидрокарбонатно-сульфатно-магниево-кальциевые с общей минерализацией от 0,68 до 1,16 г/л и жесткостью 8,9—16,1 мг экв.

	}	TOK (2/A	Же кос мг/з	T-L	£	°03,	(	Содержа	
Водоносный горизонт	Место взятия пробы воды	Сухой остаток при 110°, <i>м2/л</i>	общая	карбонат- пая	Окисляемость в МgO, 2/л	Свободный (	Na·+ К· (по раз- ности)	Ca	
Неогеновый	с. Гнилица 1-я (родниковый колодец)	354	4,6	4,6	1,8	25,1	32,2	69,3	
Полтавско-Харьков- ский	д. Комиссаров (родниковый колодец)	620	6,3	6,3	2,5	29,3	88,6	83,9	
Киевский	хут. Богатый (родниковый колодец)	382	8,2	5,3	6,7	37,7	2,3	106,3	
Киевский	д. Зеленый Гай (родниковый колодец)	458	4,2	4,2	2,0	25,1	70,3	67,10	
Маастрихт-сантонский	хут. Кр. Алек- сандровка (родник)	514	7,6	6,6	1,8	33,5	12,4	125,3	
Маастрихт-сантонский	д. Ново-Пет- ровка (родник)	552	7,1	5,7	1,8	25,1	43,2	118,6	
Маастрихт-сантонский	пос. Литвинов- ка (скважина)	-	11,9	7,0	6,4	51,4	114,77	182,36	
Сеноман-альбский	7 км северо- восточнее с. Большетроиц- кое (скважина)	1158	16,1	7,4	1,7	29,9	65,3	243,9	
Келловей-батский	То же	2 <b>5</b> 8	2,0	2,0	1,4	7,7	60,7	<b>25,</b> 5	
Нижнекаменноуголь- ный	с. Верхне-Бере- зово (скв.)	398,4	2,2	2,2	_	6,16	97,06	25,6	
Протерозойско-архей- ский	д. Бондарев (скв.)	416	4,2	<b>4,</b> 2	_	5,28	54,05	71,2	!
Протерозойско-архей- ский	7 км северо- восточнее с. Большетроиц- кое (скв.)	464	0,5	0,5	1,2	8,5	171,6	7,6	

	ния в жа	? A							
	Mg	'HN	CI,	SO4"	NO <sub>s</sub> ′	NO,	нсо,	рН	Формула Курлова
	14,9	сл.	4,0	29,2	9,6	сл.	317,2	7,5	$M_{0,35} \frac{\text{HCO}_{43}^3}{\text{Ca}_{28,4} (N+K)_{1,55}}$
	26,2	0,3	17,1	40,7	40,0	сл.	500,2	7,6	$M_{0,62} \frac{HCO_{40}^3}{Ca_{20,5} (Na + K)_{19}}$
	36,0	сл.	33,3	48,5	5,7	61,6	323;3	7,3	$M_{0,38} = \frac{\text{HCO}_{31,7}^3}{\text{Ca}_{31,7} \text{ Mg}_{17,7}}$
	11,1	_	7,10	25,5	10,6	-	390,4	7,6	$M_{0,46} \frac{\text{HCO}_{43,8}^3}{\text{Ca}_{22,9} \text{ (Na + K)}_{20,9}}$
:	16,8	-	21,2	34,9	<b>4</b> 13,4	1,2	402,6	<b>7,</b> 5	$M_{0,51} \frac{\text{HCO}_{40}^3}{\text{Ca}_{38}}$
	14,9	сл.	35,3	106,1	5,8	0,7	347,7	7,5	$M_{0,55} = \frac{\text{HCO}_{31,6}^3  \text{SO}_{12}^4}{\text{Ca}_{32,8}}$
	34,04	_	89,87	348,95	_	_	443,1	7,3	$\frac{HCO^3_{21}SO^4_{21,5}}{Ca_{27,0}}$
	47,4	_	72,3	455,5	сл.	_	451,4	7,6	$M_{1,16} = \frac{SO_{25,4}^{4} HCO_{19,6}^{3}}{Ca_{32,8} Mg_{10,3}}$
	9,2	сл.	20,9	18,1	-	_	225,7	7,8	$M_{0,26} \frac{HCO_{39,6}^3}{(Na + K)_{28,2}}$
	11,22	0,7	92,3	20,0	_	_	207,4	7,8	$M_{0,4} \frac{\text{HCO}_{26,5}^3 \text{Cl}_{20,25}}{(\text{Na} + \text{K})_{32,9} \text{Ca}_{10,0}}$
	8,29	0,7	37,63	40,0	-	_	286,7	7,6	$M_{0,42} = \frac{\text{HCO}_{35,9}^3  \text{Cl}_{8,0}}{\text{Ca}_{27}  (\text{Na} + \text{K})_{17,8}}$
	2,0	_	119	4,5	_	_	277,6	7,9	$M_{0,46} \frac{\text{HCO}_{28,4}^{3} \text{CI}_{21,0}}{(\text{Na} + \text{K})_{46,6}}$
			}		}			]	

В связи с глубоким залеганием воды этого горизонта на площади ли-

ста практически не эксплуатируются.

Нижележащие аптские и неокомские отложения в гидрогеологическом отношении совершенно не изучены. По литолого-фациальному составу пород можно предположить наличие в них спородических вод и слабую водообильность.

Келловей-батский водоносный горизонт заключен в песках мощностью 30—50 м, развитых на площади листа повсеместно. Водоупорным перекрытием почти повсеместно являются нижневолжские местами кимериджские, оксфордские или келловейские глины, водоупорным ложем — глины бата и байоса. В настоящее время описываемый горизонт вскрыт единственной скважиной, расположенной в 7 км северо-восточнее с. Большетроицкое. Кровля водоносного горизонта встречена на глубине 336,5 м (—127,3 м абс. выс.), абсолютная высота статического уровня 130 м, величина напора 257 м. Дебит изменялся от 0,115 до 0,229 n/cek при соответствующих понижениях 14,5—28,1 м.

Химический состав под гидрокарбонатно-кальциево-натриевый с общей минерализацией 0,26 г/л и жесткостью — 2,0 мг·экв. Из-за глубокого залегания описываемый горизонт до настоящего времени для водоснабжения не

использовался.

Нижнекаменноугольный водоносный комплекс заключен в известняках мощностью до 50 м, развитых на территории листа повсеместно. Воды нижнекаменноугольных отложений вскрыты/в настоящее время на севере территории листа тремя скважинами (у дд. Макешкино, Богдановка и с. Верхне-Березово). У д. Макешкино кровля водоносного горизонта встречена на глубине 249,7 м (—101,8 м абс. выс.), у д. Богдановка на глубине 338 м (—152,2 м абс. выс.), абсолютная высота статического уровня соответственно 123 и 122 м и величина напора — 225 и 274 м, дебиты скважин изменяются от 0,37 до 0,72 л/сек при соответствующих понижениях 1,9 и 3,9 м, а в скважине у д. Богдановка — от 0,73 до 1,14 л/сек при понижениях 9,81 и 16 м.

Химический состав вод хлоридно-гидрокарбонатно-кальциево-натриевый с общей минерализацией 0,4  $\epsilon/n$  и жесткостью 2,2  $m\epsilon\cdot 9\kappa\theta$  (по скважине с. Верхне-Березово).

В связи с глубоким залеганием описываемый горизонт до настоящего времени для водоснабжения не использовался.

11 ротерозойско-архейский водоносный комплекс в настоящее время вскрыт впервые на севере территории листа двумя скважинами. В скважине, расположенной в 7 км северо-восточнее с. Большетро-ицкое, воды заключены в железнослюдково-мартитовых рыхлых рудах мощностью 89 м. Кровля горизонта встречена на глубине 472,15 м (—263,4 м абс. выс.), абсолютная высота статического уровня 124 м, величина напора 388 м; дебит скважины изменялся от 0,555 до 1,49 л/сек при понижениях 1,5 и 4,8 м.

Химический состав вод хлоридно-гидрокарбонатно-натриевый с общей минерализацией 0,46 г/л и жесткостью 0,5 мг·экв.

В скважине д. Бондарев воды заключены в трещиноватых архейских гнейсах вскрытой мощности 19,5 м. Кровля горизонта встречена на глубине 499 м (—289,6 м абс. выс.), абсолютная высота статического уровня 127 м, величина напора 416 м; дебит скважины изменялся от 0,024 до 0,03 л/сек при понижениях 15,2 и 18,8 м.

Химический состав вод хлоридно-гидрокарбонатно-натриево-кальциевый с общей минерализацией 0,416 г/л и жесткостью 4,2 мг-экв. Питание водоносного комплекса происходит в основном за счет вод нижнекаменноугольных отложений.

В целом можно считать район обеспеченным водой. Для водоснабжения промышленных предприятий может быть рекомендован маастрихт-сантонский и как резервный— сеноман-альбский водоносный горизонты.

Химические анализы вод района приведены в таблице.

#### ЛИТЕРАТУРА

### Опубликованная

Барбот де-Марни Н. Геологические исследования от г. Курска

через г. Харьков до г. Таганрога. «Горный журнал», 1870, № 11.

Бражникова Н. Е. и Новик Е. О. Каменноугольные отложения Днепровско-Донецкой впадины. Геологическое строение и газонефтеносность Днепровско-Донецкой впадины и северо-западных окраин Донбасса. Изд-во АН УССР, 1954.

Бушинский Г. И. Литология меловых отложений Днепровско-До-

нецкой впадины. Тр. ИГН АН СССР, вып. 156, 1954.

Гальмерсен Г. Л. Генеральная карта горных формаций Европейской России. Пояснительные примечания к генеральной карте горных форма-

ций Европейской России, изданной Геолкомом. «Горный журнал», 1841, кн. 4. Геология СССР, т. V. Украинская ССР, Молдавская ССР, ч. I, 3 (под редакцией В. А. Ершова и Н. П. Семененко), 1958; т. VI Орловская, Брянская, Урская, Воронежская и Тамбовская области, ч. 2, 3 (под ред. А. А. Дубянского и С. А. Хакмана). Госгеолиздат, 1949.

Гуревич А. Б. О нижнекаменноугольных отложениях Белгородского

и Обоянского районов. Докл. АН СССР, т. 127, № 5, 1959. Дубянский А. А., Степанов П. И. Геологическая карта СССР

м-ба 1:1000000, лист М-37 (Харьков), 1941.

Дубянский А. А., Скоркин А. А. Геология и подземные воды Курской и Орловской областей, ч. I, II, III. Воронежский сельскохоз. ин-т, 1947---1948.

Железистые кварциты и богатые железные руды Курской магнитной

аномалии. Изд-во АН СССР, 1955. Клюшников М. Н. Нижнетретичные отложения платформенной части Украинской ССР. Изд-во АН УССР, 1953.

Клюшников М. Н. Стратиграфия и фауна нижнетретичных отло-

жений Украины. Изд-во АН УССР, 1958.

Крашенинникова О. В. Основные черты палеогеографии полтавского времени района Днепровско-Донецкой впадины и окраин кристаллического массива (фонды ин-та геол. наук АН УССР), 1945.

Ланге О. К. О зонах верхнего сенона. Геол. вестн., т. 4, вып. 1—6,

Лапкин И. Ю., Стерлин Б. П. О Днепровско-Донецком грабене.

Докл. АН СССР, т. 8, № 1, 1956.

Лейст Э. Е. Курская магнитная аномалия. Тр. ОККМА, вып. 11, 1921. Леонов Г. П. Основные вопросы региональной стратиграфии палеогенных отложений Русской плиты. Изд-во МГУ, 1961.

Маков К. И. Подземные воды Украинской ССР. Изд-во АН УССР,

Мурчисон Р. И. и др. Геологическое описание Европейской России и хребта Уральского (пер. с прим. и дополн. Озерского). «Горный журнал», вып. 1, 1849.

Мушенко А. И. Тектоника осадочного покрова Воронежской антеклизы. Изд-во АН СССР, 1960.

Назаренко Д. П. О стратиграфии и палеогеографии долинных отложений левобережья среднего Днепра, Сев. Донца и Дона. Уч. зап. ХГУ, т. 12, 1955.

Пименова Н. В. К вопросу об изученности полтавского яруса. Мат-лы по нефтеносности Днепровско-Донецкой впадины, вып. І, 1941.

Преображенская В. Н. Некоторые особенности палеогеографии байос-батского моря территории КМА. Бюлл. Воронеж, об-ва испыт. природы, т. ІХ, 1956.

Савчинская О. В. Заметки о террасе долины р. Волчьей в окрестностях г. Волчанска. Зап. НИИГ при ХГУ, т. 9, 1948.

Сборник «Геологический очерк бассейна р. Донца» НТИУ, Киев, Харьков, 1936.

Свитальский Н. И. Железные руды КМА. Воронеж, изд-во «Ком-

муна», КМАстрой, 1933.

Соколов Н. А. Нижнетретичные отложения Южной России. Тр. ГК, т. ІХ, вып. 2, 1893.

Тихий В. Н. Стратиграфия и фации карбона северо-восточных окраин Днепровско-Донецкой впадины. Большой Донбасс, (сб. статей), 1941.

Торфяной фонд РСФСР, Белгородская область, 1958.

Торфяной фонд УССР, 1959.

Чутко З. Б., Грицай Е. Г., Ляшевский Е. П. Отчет тематической партии № 3 за 1957—1959 гг. Геологическое строение и перспективы нефтегазоносности южного окончания Воронежского кристаллического массива. Киев. 1959.

Шатский Н. С. Основные черты строения и развития Восточно-Европейской платформы. Изд-во АН СССР, 1946.

#### Фондовая

Аполлонова И. П. и др. Отчет Курской геологосъемочной партии (Чернянский отряд) о комплексной геологической съемке м-ба 1:200 000 листа М-37-VIII, произведенной в 1955—1956 гг. (Курская и Белгородская области). Фонды ГУЦР, 1957.

Балашкова Е. А., Великоречина А. С. и др. Отчет партии по сбору и обобщению материалов ЦЧО (Объяснительная записка к схема-

тической инженерно-геологической карте ЦЧО. Фонды ГУЦР, 1954.

Богунова Л. С., Вишняков С. Г., Хожаинов Н. П. Стратиграфия и литология карбона КМА (Краткий информационный отчет о ходе работ карбоновой группы КМА), Воронеж, 1959.

Большакова П. А., Зендрикова Е. Г. и др. Краткая пояснительная записка к схематической инженерно-геологической карте по территории Тамбовской, Воронежской и Курской областей. Фонды ГУЦР, 1948.

Бушуева Н. И. и др. Отчет Валуйской геологосъемочной партии о комплексной геологической съемке м-ба 1:200 000 листа М-37-XV, прове-

денной в 1959—1960 гг. (Белгородская область). Фонды ГУЦР, 1961.

Великоречина А. С., Рябоченков А. С. и др. Отчет партии по оформлению и размножению сводных карт ЦЧО (объяснительная записка к альбому карт м-ба 1:200000 по территории ЦЧО). Фонды ГУЦР, 1954. Видоменко Х. Р. Структура нижнетретичных отложений Днепров-

ско-Донецкой впадины. ВГФ, 1957.

Вишняков С. Г., Хожаинов Н. П. и др. Стратиграфия, литология и фации каменноугольных отложений курской магнитной аномалии (рукопись), 1961.

Горбаткина Т. Е. и др. Отчет Белгородской геологосъемочной партии (Белгородский отряд) о комплексной геологической съемке м-ба 1:200 000 в пределах листа М-37-XIII, проведенной в 1958—1959 гг. (Белгородская и Харьковская области). Фонды ГУПР, 1960.

родская и Харьковская области). Фонды ГУЦР, 1960. Грищенко М. Н., Семенов В. П., Раскатов Г. И. Кайнозой и основные геоморфологические особенности области Курской магнитной аномалии (промежуточный годовой отчет за 1959 г.). Воронеж, 1959.

аномалии (промежуточный годовой отчет за 1959 г.). Воронеж, 1959. Грищенко М. Н., Раскатов Г. И. Геология неогеновых и четвертичных отложений и геоморфология территории КМА, Воронеж, 1961.

Денисова О. А. Отчет о геологической съемке западной половины 60 листа в пределах бывшей Воронежской губернии. Фонды ГУЦР, 1929.

Доброхотов М. Н., Полищук В. Д., Утехин Д. Н. Промежуточный отчет о работах Курско-Белгородской картосоставительской партии (за 1957—1958 гг.). Фонды ГУЦР, 1959.

Епифанов Б. П. и др. Отчет Западно-русской экспедиции об аэро-

магнитных исследованиях курской магнитной аномалии. ВГФ, 1947.

Ефимова В. Н., Глазунова А. Е. и др. Стратиграфия мезозойских отложений центральных районов Русской платформы (территория **КМА).** Ленинград, 1961.

Жаворонкин И. А. и др. Отчет о результатах комплексных исследований Курского железнорудного бассейна в 1955 г. Фонды ГУЦР, 1955.

Жаворонкин И. А., Иванов П. Н. Отчет о результатах обобщения геофизических исследований Белгородского железнорудного района КМА за период 1948—1960 гг. Фонды ГУЦР, 1961.

Захаревич Д. В. Отчет о результатах маршрутных геологических исследований в пределах 46 листа и по р. Оскол 60 листа Европейской части СССР в м-бе 10 верст в І" в связи с составлением сводной геологической карты территории деятельности треста КМА. Фонды ГУЦР, 1936.

Иванов П. Н., Гайнутдинов И. А. и др. Отчет о результатах обобщения сейсмических исследований в районе Курских магнитных аномалий за период 1953—1960 гг. Фонды ГУЦР, 1962. Карякин Л. И. Общая геологическая карта УССР, лист XXII-15

(южная часть листа). Фонды Укр. геол. треста, 1931.

Ковтун Я. П., Павловский В. И. и др. Отчеты о результатах комплексных геофизических исследований в районе Курских магнитных аномалий. Фонды ГУЦР, 1957, 1958, 1959.

Красовицкая Р. С., Шмидт Н. Г., Ковтун Я. П. и др. Отчет о результатах исследований Курского железнорудного бассейна. Фонды ГУЦР, 1956.

Куделин В. Н. и др. Отчет о результатах обобщения электроразве-

дочных исследований на КМА. Фонды ГУЦР, 1962. Куприянов Г. М. Геологическое строение междуречья рек Сев. Донца и Оскола. ВГФ, 1958.

Малярова Е. И., Добров С. А. и др. Комплексная геологическая карта территории МГГУ, лист М-37-А (Курск). Фонды ГУЦР, 1945.

Матвейчук А. К. и др. Отчет о геологических и гидрогеологических исследованиях, проведенных в 1950 г. в связи с проектированием малонапорных плотин и водохранилищ в Курской области, в верховьях бассейнов рр. Сейм, Псел, Сев. Донец и Оскол. Фонды ГУЦР, 1951.

Матвиенко Е. М. Комплексная геологическая карта УССР, лист

М-37-В (Харьков). ВГФ, 1947.

Назаренко Д. П. Общая геологическая карта УССР (лист XXIII-15).

Фонды Укр. геол. треста, 1931.

Павлов И. Н., Прохоров С. П. Гидрогеологические условия железнорудных месторождений курской магнитной аномалии (КМА). Отчет по теме № 13. Фонды ГУЦР, 1957.

Панков П. Н. и др. Инженерно-геологическое описание территории центральной черноземной полосы (пояснительная записка к карте инженерногеологического районирования ЦЧО в м-бе 1:500 000 для целей орошения). Фонды ГУЦР, 1949.

Полищук В. Д., Утехин Д. Н. и др. Предварительные результаты структурно-картировочного бурения на КМА за период 1959—1961 гг.

Фонды ГУЦР, 1961.

Преображенская В. Н. Материалы к стратиграфическому расчленению юрских отложений территории КМА. Горногеологическая станция АН СССР на КМА. Воронеж, 1955.

Преображенская В. Н. Стратиграфия и литология юрских и неокомских отложений территории Курской магнитной аномалии (Рукопись), 1961.

Розановская Е. М., Бородин Н. Г., Симонова Г. Ф. От-Белгородской геологосъемочной партии (Большетроицкий о комплексной геологической съемке м-ба 1:200 000 в пределах листа M-37-XIV, проведенной в 1958—1959 гг. (Белгородская и Харьковская области). Фонды ГУЦР, 1960.

Семенов В. П. (под ред. А. А. Дубянского). Государственная геологическая карта СССР, лист М-37 (Харьков) с обяснительной запиской

4 Зак. 05226 49 к геологической карте и карте полезных ископаемых северной части листа.

Фонды ГУЦР, 1956.

Семихатов А. Н. Отчет по общей геологической карте СССР, югозападная четверть 60-го листа в пределах Курской и Харьковской губерни. Фонды ГУЦР, 1929.

Семихатов Б. Н. Отчет по общей геологической карте СССР, лист 60-й, северо-западная четверть (Старый Оскол— Короча— Белград).

Фонды ГУЦР, 1923.

Смирнов Б. Н., Воронина А. Л., Чаповская Л. Л. и др. Отчет (промежуточный) о предварительных результатах работ по составлению гидрогеологических и инженерно-геологических карт м-ба 1:500000 территории КМА и прилегающих районов (планшеты М-37-A, N-37-B) по состоянию на I/I 1960 г. Фонды ГУЦР, 1959.

Федюк В. И., Куратова В. В. и др. Отчет о комплексных геофизических исследованиях, проведенных на территории курской магнитной ано-

малии в 1948 г. Фонды ГУЦР, 1948.

Чайкин С. И. и др. Отчеты Белгородской железорудной экспедиции

по работам за 1958—1962 гг. Фонды ГУЦР, 1958—1963.

Шмидт Н. Г., Ковтун Я. П., Островский М. И. Отчет о результатах комплексных геофизических исследований Курского железорудного бассейна в 1954 г. Фонды ГУЦР, 1954.

Яковлев Б. А. Структурная карта Европейской части СССР, лист

М-37 (Харьков) с объяснитлеьной запиской. Фонды ГУЦР, 1949.

## СПИСОК МАТЕРИАЛОВ, ИСПОЛЬЗОВАННЫХ ДЛЯ НАНЕСЕНИЯ НА КАРТЫ ДАННЫХ ПО ПОЛЕЗНЫМ ИСКОПАЕМЫМ

Ne n/n	Фамилия и инициалы автора	Название работы	Год со- ставле- ния или издания	Местоположение материала, его фондовый № или место издания
1	Андреев В. Қ.	Отчет о геологоразве- дочных работах на кир- пичные глины для Воло- коновского кирпичното завода Южтрансстрома НКПС	1940	Рукопись, фонды ГУЦР
2		Балансы запасов на 1/I 1962 г. по Белгород- ской и Харьковской об- ластям		Рукопись, фонды ГУЦР и ВГФ
3	Вольпова Л. С.	Отчет о детальной разведке Большетроицкого месторождения кирпичных глин в Большетроицком районе Белгородской области	1961	Рукопись, фонды ГУЦР
4	Горбачевский Г. Е.	Отчет о детальной геологической разведке Ольховатского месторождения мела Харьковской области	1957	Рукопись, <sup>*</sup> ВГФ
5		Заключение о железорудных месторождениях КМА со сравнительной оценкой их гидрогеологических, инженерно-теологических и горно-экономических условий и перспектив дальнейшего прироста запасов богатых железных руд	•	Рукопись, фонды ГУЦР
6	Златина В. Е.	Отчет о результатах геологоразведочных работ на Велико-Бурлукском месторождении кирпичного сырья	1954	Рукопись, ВГФ
7	Колодинский Л. Б.	О геологоразведочных работах на Никольском месторождении мела Харьковской области	1967	Рукопись, ВГФ

	v.**		<u> </u>	<del></del>
JA≜ n/n	Фамилия и инициалы автора	Название работы	Год со- ставле- ния или издания	Местоположение материала, его фондовый № или место издания
8	Кондрашов П. П., Прокофьев П. П., Шкилев А. Ф.	Отчет о геологопоисковых работах на песчанобалластные материалы по линии Елец — Валуйки Московско-Донбасской железной дороги	1935	Рукопись, фонды ГУЦР
9	Копытин В. К.	Отчет о поисковых и детальных геологоразведочных работах на Волоконовском месторождении строительных песков (Пятницкий участок) в 1957 г.	1958	Рукопись, фонды ГУЦР
10	Короткий Л. Ф.	Отчет о детальной разведке месторождений песка и мела в Валуйском районе Белгородской области	1958	Рукопись, фонды ГУЦР
11	Ломакин Н. К.	Отчет о результатах рекогносцировочно-по- исковых геологоразведоч- ных работ на песчаники проведенных в Белгород- ской области в 1956 г.	1957	Рукопись, фонды ГУЦР
12	Мартиросова А. Н.	Отчет о детальной геологической разведке и подсчет запасов кирпично-черепичных глин в Воложоновском районе Белгородской области РСФСР	1955	Рукопись, фонды ГУЦР
13	Нацик П. Г.	Отчет о геологоразве- дочных работах на кир- пично-черепичные глины у с. Ольховатка Ольхо- ватского района Харьков- ской области	1953	Рукопись, ВГФ
14	Николаева К. М.	Отчет о детальной разведке Волоконовского месторождения мела в Волоконовском районе Белгородской области	1962	Рукопись, фонды ГУЦР

№ п/п	Фамилия и инициалы автора	Название работы	Год со- ставле- ния или издания	материала, его
15	Розановская Е. М., Бородин Н. Г., Симонова Г. Ф.	Отчет Белгородской геологосъемочной партии (Большетроицкий отряд) о комплексной геологической съемке м-ба 1:200 000 в пределах листа М-37-XIV, проведенной в 1958—1959 гг. (Белгородская и Харьковская области)		Рукопись, фонды ГУЦР
16	Товаровская Ф. Б.	Отчет о дополнительных геологоразведочных работах на Волоконовском месторождении кирпичных суглинков	1956	Рукопись, фонды ГУЦР
17		Торфяной фонд Белгородской области по состоянию разведанности на 1 января 1958 г.	1958	Главное управление торфяного фонда при Со- вете Министров РСФСР
18		Торфяной фонд Укра- инской ССР по состоя- нию разведанности на 1 января 1959 г.	1 <b>9</b> 59	То же
19	Хороняка В. Қ.	Отчет по поисковой и детальной разведке Волоконовского месторождения суглинков в 1958 г.	1959— 1960	Рукопись, фонды ГУЦР
20	Хороняка В. Қ.	Отчет о поисковых ра- ботах на песчаники в Старо-Оскольском, Ново- Оскольском, Волоконов- ском, Велико-Михайлов- ском и Прохоровском районах Белгородской области	1960	Рукопись, фонды ГУЦР
21	Царев А. М.	Отчет о детальной разведке месторождения кирпичных сутлинков в с. Старосельцево Волоконовского района Курской области РСФСР	1950	Рукопись, фонды ГУЦР

			poodiiii	ение прилож. 1
<b>№</b> п/п	Фамилия и инициалы автора	Название работы	Год со- ставле- ния или издания	материала, его
22	Цыпин Л. Н.	Отчет о результатах геологоразведочных ра- бот на Приколотнянском месторождении кирпич- ных глин (Харьковская область, УССР)	1959	Рукопись, ВГФ
23	Черепашенко В. Д.	Отчет о детальной геологической разведке и подсчет запасов Волоконовского месторождения песков Волоконовского района Белгородской области	1956	Рукопись, фонды ГУЦР
24	Черепашенко В. Д.	Отчет о детальной геологической разведке и подсчет запасов Большетроицкого месторождения песков Большетроицкого района Белгородской области	1957	Рукопись, фонды ГУЦР
25	Черепашенко В. Д., Струков И. И.	Отчет о детальной разведке Волоконовского месторождения песков Волоконовского района Белгородской области	1959	Рукопись, фонды ГУЦР
26	Щелухина А. Ф.	О результатах геологопоисковых работ на активные минеральные добавки для Купянского цементного завода Харьковской области	1956	Рукопись, ВГФ
27	Щелухина А. Ф.	Отчет о детальной разведке Велико-Бурлукского месторождения диатомита	1958	Рукопись, ВГФ

# СПИСОК ПРОМЫШЛЕННЫХ МЕСТОРОЖДЕНИЙ ПОЛЕЗНЫХ ИСКОПАЕМЫХ, ПОКАЗАННЫХ НА ЛИСТЕ M-37-XIV M-БА 1:200000

М по карте	Индекс клетки на карте	Наименование месторождения и вид полеэного ископаемого		Тип место- рождения (К-корен- ное, Р россыпное)	№ исполь- зован- ного мате- риала по списку	Примеча- ние
		Торф				
30	1-1	Репновское-Подрожок	Не эксплуати- руется	К	17	
33 34	I-2 I-2	Копаня Последние Ольхи за Крутым Яром	то же " "	K K	17 17	
35	I-2	Крутое	Эксплуати- руется	К	17	
36	I-2	Между Қопанями	Не эксплуати- руется	К	17	
38 39 40 44 45	I-4 II-1 II-1 II-2 II-3	Круглое Сачва Зимовенское Бузувское Луч	То же " " " " Эксплуати- руется	К К К К	17 17 17 18 17	
46	11-3	Лозняки	Не эксплуати- руется	К	17	l
52	III-1	Волчьевское 2-е	Эксплуати- руется	К	18	
56	IV-3	Колодезное	Не эксплуати- руется	К	18	
57	IV-4	Кугуровское Железные руды	Эксплуати- руется	К	17	
3	1-2	Большетроицкое	Не эксплуати- руется	К	5	
		Карбонатные породы Мел				
1	I-1	д. Репное	Не эксплуати-	К	15	Не раз-
7	I-4	Волоконовское	руется Эксплуати-	к	14	ведано
8	II-1	д. Мало-Михайловка	руется Не эксплуати- руется	К	15	Не раз- ведано
20 21	III-3 III-4	Ольховатское Валуйское (Лавы)	" " Эксплуати-	К К	4 10	ведано
29	IV-2	Никольское	руется Не эксплуати- руется	К	7	
,					}	

_				11 pooom	NCC11446	npanom. z
№ по карте	Индекс клетки на карте	Наименование месторождения и вид полезного ископаемого	Состояние эксплуатации	Тип место- рождения (К-корен- ное, Р- россыпное)	ного мате-	Примеча- ние
		Глины кирпичные				
5	1-3	д. Кобылий Яр	Не эксплуати-	К	15	Не раз- ведано
16	III-2	Приколотнянское	руется Эксплуати-	К	22	То же
19	III-3	Ольховатское	руется Тоже	к	13	
27	IV-2	Велико-Бурлукское	·	ĸ	6	P 9
28	IV-2	д. Яичное	Не эксплуати-	ĸ	15	7
		д. жичное	руется	••		
31	I-1	д. Алхимовка	То же	К	15	
32	I-2	Большетроицкое	Эксплуати-	К	3	
		•	руется			
41	II-1	с. Белянка	Не эксплуати-	К	15	
42	II-1	с. Нежеголь	руется То же	к	15	
47	11-4	Волоконовское 2	Эксплуати-	к	1, 16	• •
••		Bollokollobekoe 2	руется		1, 10	* *
		Волоконовское 3	То же	К	2	Разведа- но хоз.
48	11-4	Волоконовское	Не эксплуати-	к	19	способом
			руется			, ,
40	77.4	Волоконовское 1	То же	К	12	
49	II-4 III-1	Старосельцевское	" "	K	21	
51	111-1	д. Бочково	""	К	15	He pass≻
55	IV-2	Совхоз Федоровка	""	ŀΚ	15	ведано То же
		Пески строительные				
6	1-3	д. Боровки		к	15	
ğ	11-2	хут. Шапкин	""	Кĸ	15	* *
10	11-2	д. Дегтярное	,,,,,	К	15	
11	11-3	д. Красный пахарь	,, ,,	l к	15	• "
13	11-4	д. Репный	, , ,	К	15	
15	III-1	Разъезд Бакшеевка	,, ,,	K	15	
18	III-3	с. Ольховатка	,, ,,	К	15	,, ,
22	IV-1	д. Гнилица І-я	,, ,,	К	15	
23	IV-2	с. Приколотное	,, ,,	К	15	и в-
24	IV-2	совхоз Федоровка с. Великий Бурлук	""	K	15	
26 <b>43</b>	IV-2   II-1	с. Нежеголь	,, ,,	K	15	
50		Пятницкое	""	K K	15 9, 21	* n·
53	111-4	Принцевское	Ранее" эксплуа-	K	9, 21	i
		1	тировалось	, A	ľ	
		İ				
	İ					

	,			Просоля	cenue 1	<u>грилож. 2</u>
Ме по карте	Индекс клетки на карте	Наименование месторождения и вид полезного ископаемого	Состояние эксплуатации	Тип место- рождения (К-корен- ное, Р← россыпное)	№ исполь- зован- ного мате- риала по списку	Примеча- ние
4 37 54	I-2 I-4 III-4	Пески для производства известково-песчаных блоков Большетроицкое Волоконовское 1-е Валуйское (Дроново)	Не эксплуати- руется То же " "	к к к	24 23, 25 10	
2 12	1-2 11-4	Песчаники д. Гайдашевка с. Верхн. Лубянка Диатомит	Не эксплуати- руется То же	к к	15 15	Не раз- ведано То же
25	IV-2	Велико-Бурлукское	Не эксплуати- руется	к	26, 27	

# СПИСОК ПРОЯВЛЕНИЙ ПОЛЕЗНЫХ ИСКОПАЕМЫХ, ПОКАЗАННЫХ НА ЛИСТЕ M-37-XIV M-БА 1:200000

№ по карте	Индекс клетки на карте	Название (местонахож- дение) проявления и вид полезного ископаемого	№ исполь- зованного материала по списку	
		Цирконийсод <b>е</b>	ржащие породы	
14	III-1	Разъезд Бакшеевка	Карьер, песок мощ- ностью 16 м, содержа- ние циркона 3,02 кг/м <sup>3</sup>	15
17	111-3	с. Ольховатка	Обнажение, песок мощностью 18 м, содержание циркона 3,98 кг/м <sup>3</sup>	

## СОДЕРЖАНИЕ

			Стр.
Введение	•	,	. 3
Стратиграфия	•	•	. 9
Интрузивные образования	•	•	. 30
Тектоника	•	•	. 30
Геоморфология	•	•	. 32
Полезные ископаемые .	•	•	. 37
Подземные воды	•	•	. 41
Приложения	•	•	51
p	•	•	

Редактор издательства И. Е. Дмитриева Техн. редактор В. В. Романова Корректор Т. М. Столярова

Подписано в печать 25/III 1970 г.

Формат 60×901/16. Тираж 100 экз. Печ. л. 4 с 1 вкл.

Уч.-изд. л. 6,5 Заказ № 05226

Издательство «Недра» Ленкартфабрика ВАГТ

## РЕЕСТР ВАЖНЕЙШИХ БУРОВЫХ СКВАЖИН (ЛИСТ M-37-XIV)

• ••	<u> </u>	<u> </u>	±	Мощность пройденных скважинами отложений, в ж																															
<b>№№ на</b> карте	Индекс клетки на карте	Абс, высота устья, ж	Глубина скваж ны, ж	С какой целью и когда пробурена скважина	ø	N <sub>2</sub>	N sp	Pg <sub>8</sub> — N <sub>1</sub> pl	Pgshr	Pg2ke	Pg <sub>2</sub> kn	Cr <sub>s</sub> m	Cracp	Crasta	Cr <sub>s</sub> st <sub>1</sub>	Crat + cn	Cral + cm	Crinc — ap	J <sub>s</sub> nv	J <sub>s</sub> km	J <sub>s</sub> ox	J <sub>s</sub> cl	J <sub>2</sub> bj + bt	C <sub>2</sub> b	C <sub>1</sub> pr	C <sub>1</sub> st	C,tr	C <sub>1</sub> vn	C <sub>1</sub> mh	C <sub>1</sub> al	C <sub>1</sub> v <sub>2</sub>	C,t	7 <sup>PL</sup> 1	404	Откуда заимствованы данные по скважине
1	I-1	217	108,6	Картировочная, 1958 г.	10,2			12,3	1,5	29,6			18,9	36,1					<u> </u>						Ī		1								Е. М. Розановская
2	I-1	193	748,3	Структурно-картиро- вочная, 1960 г.	8,9	1,1				20,5			47,0	. 11	7,0	81,5	25,0	6,0	35,0	21,0	7,0	23,0	86,0	25,0	11,0	25,0	32,6	40,9	16,0	39,8	31,0		4	8,0	и др. 1960, скв. 5 Белгородская железо- рудная экспедиция
3 4 5	I-2 I-2 I-3	196 212 205	568,7 650,0 383,3	, ,,	9,0 9,5 6,3			2,7	3,6 5,7	12,0 28,1 16,6	1,0		142,0		3,0 6,5	62,0 71,0	27,0 14,0 30	4,0 6,0	26,0 45,0	16,0 16,0 35	4,0 4,0 ,1	22,0 7,0	66,0 85,0 78,1				31,0 21,0	37,0 34,0 2,0	16,0 15,0	40,0	17,0	18,0 1	7,7	8,8	ГУЦР, скв. 1034 То же, скв. 361 То же, скв. 783 Е. М. Розановская
6 7	l-3 l-4	232 98	124,5 351,2	Картировочная, 1958 г.	15,8 5,0		1,7	15,5	9,0	15,ò			28,0	39,5		87,9	30	,0	17,4			19,3	51,4						16,1	42,7	43,6	12,4		25	и др., 1960, скв. 35 То же, скв. 36 То же, скв. 38
<b>8</b> 9	I-4 I-4	148 235	389,4 75,0	Структурно-картиро- вочная, 1961 г.	6,0 8, <b>6</b>		:	20,1	4,1	26,2				16,0	67, <b>5</b>	71,0	18,1	10,0	10,0			10,0	38,5					18,7	15,3	18,4	68,0	11,0	2	6,9	Белгородская железорудная экспедиция ГУЦР, скв. 368 Е. М. Розановская
	II-2 II-4 II-4 III-1 III-2 III-3 IV-1 IV-2 IV-3 IV-4 IV-4	225 210 120 217 210 210 175 196 202 195 80	127,5 99,1 153,0 134,8 125,0 123,5 66,0 151,4 112,1 78,0 129,1	То же  " " " " " " Картировочная, 1959 г. Картировочная, 1958 г. То же " "	14,0 8,5 10,0 23,0 11,5 11,0 24,0 24,0 9,5 12,3 14,0		1 1	23,5 19,5 16,6 21,5 23,5 22,0 24,5 17,6		42,6 27,7 28,5		31,6 14,0	47,0 47,0 45,8 62,3 44,0 6,2 23,4 40,1 19,5	2,5 3,1 73,0 3,5	55,0 31,1	15,0																			Е. М. Розановская и др., 1960, скв. 41 То же, скв. 65 То же, скв. 86 То же, скв. 87 То же, скв. 100 То же, скв. 102 То же, скв. 120 То же, скв. 120 То же, скв. 133 То же, скв. 135 То же, скв. 147 То же, скв. 148

Зак. 05226